



سنگنگاری، شیمی کانی‌ها، ژئوشیمی و جایگاه زمین‌ساختی سنگ‌های آتشفسانی ترشیری منطقه‌ی شوشک (شرق سربیشه)، خراسان جنوبی

سید سعید محمدی^{۱*}، ریحانه بیانی^۱، مليحه نخعی^۲، سون لین چانگ^{۳و۴}، محمدحسین زرین کوب^۱

۱- گروه زمین‌شناسی، دانشکده علوم، دانشگاه بیرجند

۲- گروه مهندسی معدن، دانشگاه صنعتی بیرجند

۳- انسٹیتو علوم زمین، آکادمیا سینیکا، تایپه، تایوان

۴- دپارتمان علوم زمین، دانشگاه ملی تایوان، تایپه، تایوان

(دریافت مقاله: ۹۵/۳/۳، نسخه نهایی: ۹۵/۶/۴)

چکیده: در شرق سربیشه ایستان خراسان جنوبی مجموعه‌ای از سنگ‌های آتشفسانی وابسته به ترشیری با ترکیب آندزیت، تراکی-داسیت و رویلیت به همراه سنگ‌های آذرآواری رخنمون دارند. کانی‌های سازنده‌ی آندزیتها شامل پلازیوکلاز، پیروکسن، آمفیبول، بیوتیت، و در سنگ‌های اسیدی شامل پلازیوکلاز، کوارتز، سانیدین، آمفیبول و بیوتیت هستند. براساس نتایج تجزیه‌ی ریزکاوش الکترونی، گسترده‌ی ترکیبی پلازیوکلازها در آندزیت بین $An_{62/9}$ تا $An_{25/5}$ ، $Ab_{62/7}$ تا $Ab_{25/5}$ تغییر کرده و از نوع آندزین تا لابرادوریت هستند. پیروکسن‌ها از نوع انسنتیت و دارای طیف ترکیبی $En_{50/6-57/8}$ هستند. دماسنجدی ارتوبیروکسن‌ها، گسترده‌ی دمایی ۱۰۵۰ تا ۱۱۰۰ درجه‌ی سانتی‌گراد را با فشار ۱ تا ۱۰ کیلوبار نشان می‌دهد. سنگ‌های مورد بررسی دارای ماهیت آهکی قلیایی پتانسیم متوسط تا بالا و شوشوونیتی هستند. ویژگی‌های ژئوشیمیایی نظیر غنی‌شدگی LILE، تهی‌شدگی HFSE و نسبت Zr/Y بیشتر از ۳ بیانگر وابستگی این سنگ‌ها به مناطق فرورانش و حاشیه‌ی فعال قاره‌ای است. مقادیر نسبتاً پایین La/Yb (۱۱۶۸/۷-۱۷) و Dy/Yb (کمتر از ۲) در گدازه‌های شوشک، نشان دهنده‌ی رخداد ذوب بخشی گوشه در منطقه انتقالی اسپینل-گارنت لرزولیت است.

واژه‌های کلیدی: آندزیت؛ شیمی کانی‌ها؛ دماسنجدی؛ آهکی قلیایی؛ حاشیه فعال قاره‌ای؛ سربیشه.

با ضخامت بیش از ۲۰۰۰ متر پوشانده و در اثر فرورانش، پیش از برخورد صفحات عربی و آسیا تشکیل شده است [۱-۳]. منطقه‌ی جوش خورده‌ی سیستان به عنوان بقایایی از یک سنگ کره‌ی اقیانوسی است که بین بلوک افغان و پنهانه لوت وجود داشته است. این باریکه‌ی اقیانوسی به عنوان یکی از سرشاخه‌های نئوتیس مطرح بوده که در ۸۶ میلیون سال قبل در اثر رژیم زمین‌ساختی فشارشی شروع به بسته شدن کرده و از ۵۶ میلیون سال قبل این رژیم زمین‌ساختی فشارشی به رژیم کششی تغییر یافته است که سرانجام منجر به ولکانیسم عظیم در شرق ایران شده است [۷-۸]. مانگماتیسم شرق ایران بیشتر

مقدمه

منطقه‌ی مورد بررسی در حدود ۱۲ کیلومتری شرق شهرستان سربیشه و بین طول‌های جغرافیایی $55^{\circ} ۵۵' ۸''$ تا $59^{\circ} ۵۵' ۸''$ شرقی وعرض‌های جغرافیایی $۳۲^{\circ} ۳۵' ۳۵''$ تا $۴۹^{\circ} ۳۸' ۳۲''$ شمالی قرار گرفته است. از دیدگاه تقسیم‌بندی واحدهای ساختاری ایران، این منطقه در حاشیه‌ی خاوری بلوک لوت [۱-۳] و در حد فاصل منطقه‌ی زمین درز سیستان [۴-۶] قرار گرفته است. فعالیت‌های مانگماتیسمی بلوک لوت از ژوراسیک میانی آغاز شده و در ترشیری به اوج خود رسیده است. سنگ‌های آتشفسانی و نیمه‌عمیق ترشیری بیش از نیمی از بلوک لوت را

است. واحد OM^{pr} شامل تراکی داسیت‌های پرلیتی شده است که در بخش جنوبی روستای گلستان و شمال روستای حسن-کلنگی در قاعده‌ی دیگر سنگ‌های گدازه‌ای یافت می‌شود. این واحد در نمونه‌ی دستی رنگ خاکستری تیره تا سیاه با جلای مرواریدی دارد. در بخش‌هایی از شمال و جنوب غرب منطقه‌ی مورد بررسی، واحد آذرآواری T^{tm} متشکل از لیتیک توف، برش و آگلومرا وجود دارد که در بخش‌های بالایی به توف‌های اسیدی سفید رنگ تبدیل می‌شود. واحد $E0^{br}$ که شامل آمیزه‌ای تفکیک نشده از سنگ‌های آتشفسانی و آذرآواری به صورت مجموعه‌ای تکتونیزه و خرد شده است در بخش‌هایی از شمال شرق، شرق و جنوب منطقه‌ی مورد بررسی گستردۀ شده است. سنگ‌های آتشفسانی و آذرآواری منطقه‌ی مورد بررسی در اثر فرایندهای دگرسانی دستخوش تغییرات فیزیکی و شیمیایی شده و پهنه‌های دگرسان را تشکیل داده‌اند. دگرسانی‌های شاخص مشاهده شده در سنگ‌های منطقه عبارتند از سریسیتیک، آرژیلیک، پروپیلیتیک، کربناتی‌شدن و سیلیسی-شدن. دگرسانی‌های سیلیسی و آرژیلیک سبب تشکیل سنگ‌های نیمه‌قیمتی و ذخایر بنتونیت در این منطقه شده است. همچنین، گدازه‌های ریولیتی تحت تأثیر فرایند آبگیری به پرلیت تبدیل شده و ذخایر پرلیتی مهمی را ایجاد کرده‌اند.

روش بررسی

این پژوهش بر مبنای بررسی‌های صحرایی و آزمایشگاهی صورت گرفته است. در این راستا پس از برداشت حدود ۱۱۰ نمونه، تعداد ۷۷ مقطع نازک تهیه و مورد بررسی‌های سنگ-نگاری دقیق قرار گرفت. سپس، به منظور بررسی شیمی کانی‌ها، مقاطع نازک صیقلی از نمونه‌ی آندزیتی تهیه و پس از مراحل آماده‌سازی در انستیتو علوم زمین آکادمیا سینیکا در تایپه کشور تایوان مورد بررسی قرار گرفت. برای مشاهده بافت‌های ریزمقیاس و تهیه‌ی تصاویر BSE از میکروسکوپ الکترونی روبشی مدل JEOL SEM JSM-6360LV استفاده شد. شناسایی فازهای کانی‌ها با استفاده از طیفسنج پراکنده (EDS: Oxford Instruments Ltd., Xmax-50 with INCA-350) مجهز به SEM تحت شرایط پرتو ۱۵ کیلوولت و ۲۰ نانومتر انجام شد. تجزیه ریزکاو الکترونی کانی‌های پلازیوکلаз و پیروکسن توسط دستگاه مدل JEOL EPMA JXA-8900R که مجهز به چهار طیفسنج با طول موج

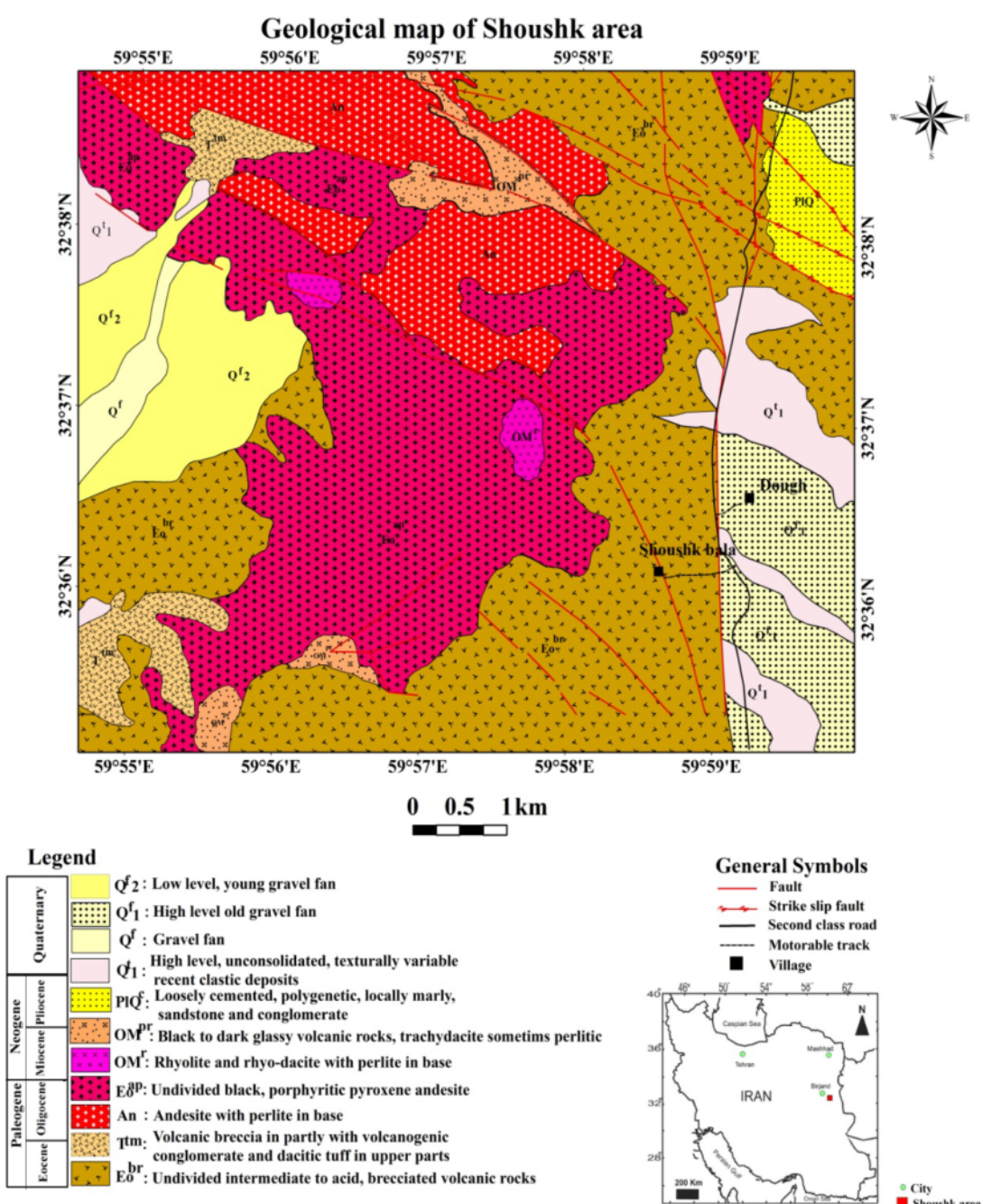
شامل سنگ‌های آتشفسانی ائوسن-الیگوسن است که به صورت گدازه و سنگ‌های آذرآواری رخنمون دارند [۸]. در شرق سربیشه مجموعه‌ای از سنگ‌های آتشفسانی وابسته به ترشیری با ترکیب آندزیت، تراکی داسیت و ریولیت به همراه سنگ‌های آذرآواری شامل توف، برش و آگلومرا رخنمون دارند. با وجود بررسی‌های متعددی که به وسیله‌ی پژوهندگان مختلف در مورد سنگ‌های آتشفسانی منطقه‌ی سربیشه انجام شده است [۸-۱۴]، در این پژوهش، برای اولین بار به بررسی شیمی کانی‌ها و ژئوشیمی سنگ‌های گدازه‌ای منطقه‌ی شوشک پرداخته شده است که نتایج آن در شناخت سرشتی‌های ژئوشیمیایی، تعیین خاستگاه و محیط زمین‌ساختی ماقم‌اتسیم لوت و زمین‌شناسی شرق ایران اهمیت بسیاری دارد.

زمین‌شناسی منطقه

منطقه‌ی مورد بررسی در گستره‌ی نقشه زمین‌شناسی ۱۰۰۰۰۰۱:۱ سربیشه [۱۵] قرار گرفته است. این پژوهندگان سن واحدهای سنگی منطقه را از ائوسن-الیگوسن تا عهد حاضر می‌دانند. سنگ‌های آتشفسانی منطقه شوشک شامل پیروکسن آندزیت، آندزیت، تراکی داسیت پرلیتی شده و ریولیت به همراه سنگ‌های آذرآواری (توف، آگلومرا و برش) بود (شکل ۱) که به صورت گنبدهای رخنمون دارند. واحد آتشفسانی $E0^{ap}$ شامل گدازه‌های آندزیتی و پیروکسن آندزیتی، دارای بیشترین گستردگی در بخش‌های مرکزی و شمال غربی منطقه‌ی مورد بررسی است. این سنگ‌ها در نمونه‌ی دستی اغلب به رنگ تیره دیده شده و به دلیل هوازدگی و دگرسانی‌های رخ داده به رنگ‌های سرخ، زرد و خاکستری دیده می‌شوند. در بخش شمالی منطقه‌ی مورد بررسی واحد An_2 ، شامل آندزیت پورفیری با قاعده پرلیتی رخنمون دارد. این واحد دارای ساخت توده‌ای، گاهی جریانی و بافت حفره‌ای است. توده‌های مورد بررسی به علت تأثیر عوامل ساختاری، نظیر درزها و شکستگی‌های موجود، استحکام اولیه‌ی خود را از دست داده‌اند و به صورت بلوكهای قابل جدایش هستند. واحد گدازه‌ای OM^r شامل ریولیت و ریولیت به صورت پراکنده در بخش‌های مرکزی منطقه‌ی مورد بررسی رخنمون دارد. این واحد به صورت توده‌های منفرد و به رنگ صورتی متمایل به سفید دیده می‌شود. این سنگ‌ها در بسیاری از نقاط، دارای شکستگی‌ها و حفره‌ها که گاهی این شکستگی‌ها به وسیله کانی‌های سیلیسی پر شده

تجزیه گردید. داده‌های حاصل از آنالیز، به منظور بررسی‌های ژئوشیمیابی و تعیین جایگاه تکتونیکی واحدهای مورد مطالعه، با استفاده از نرم افزار GCDkit تعبیر و تفسیر شد. در ترسیم نمودارها و نقشه زمین‌شناسی از نرم افزار Arc و CorelDraw GIS استفاده گردید.

انتشاری بوده، با شتاب دهنده‌ای با ولتاژ ۱۵ کیلوولت و جریان پرتوی ۱۲ نانوآمپر مورد آنالیز قرار گرفت. پس از آن با استفاده از نرم افزار Minpet، نمودارهای لازم ترسیم و تفسیر شدند. عدد از نمونه‌های دارای حداقل دگرانسی برای آنالیز شیمیابی انتخاب و در آزمایشگاه Acme کانادا به روش ICP (برای عنصر اصلی) و ICP-MS (برای عناصر کمیاب و خاکی نادر)،



شکل ۱ نقشه‌ی زمین‌شناسی منطقه‌ی شوشک بر اساس نقشه‌ی زمین‌شناسی ۱:۱۰۰۰۰۰ سربیشه [۱۵] با تغییرات.

می‌شود (شکل‌های ۲ الف و ب). کلینوپیروکسن به مقدار کم در برخی از نمونه‌های این سنگ‌ها به صورت درشت بلور و ریزبلور وجود دارند. با پیشرفت تفریق در این گروه سنگی، کانی‌های فرومیزین شامل هورنبلند و بیوتیت به صورت شکل‌دار و نیمه شکل‌دار به مقدار کمتر از ۵ درصد دیده می‌شوند. وجود درشت‌بلورهای آمفیبول در نمونه‌های آندزیتی دلیلی بر ماهیت آبدار ماقمایسم و شکل‌گیری سنگ‌ها در کمان ماقمایی است [۲۰، ۱۹].

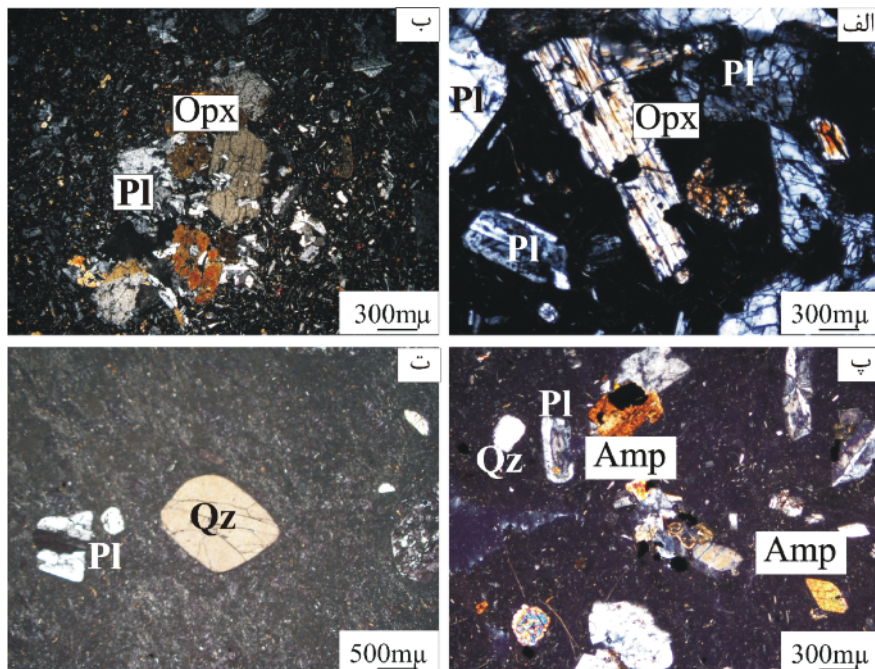
داسیت-تراکی داسیت (پرلیتی شده)

داسیتها گسترش محدودی در منطقه‌ی مورد بررسی داشته و در نمونه‌ی دستی بیشتر به رنگ خاکستری روشن و گاهی قهوه‌ای دیده می‌شوند. بافت این سنگ‌ها پورفیری با خمیره‌ی شیشه‌ای (شکل ۲ پ) و گاهی شیشه‌ای پرلیتی یا جریانی است. میزان فنوکریست در این سنگ‌ها کم بوده و شامل پلازیوکلاز، کوارتز، هورنبلند، بیوتیت، سانیدین و گاهی پیروکسن هستند. فنوکریست‌های نیمه‌شکل‌دار تا بی‌شکل پلازیوکلاز از نوع الیگوکلاز-آنذین حدود ۲۰ تا ۳۵ درصد حجم فنوکریست‌ها را به خود اختصاص داده و دارای منطقه‌بندی، بافت غربالی و

سنگنگاری

براساس بررسی‌های میکروسکوپی انجام شده روی سنگ‌های آتشفشاری منطقه‌ی مورد بررسی، این سنگ‌ها در انواع پیروکسن آندزیت، آندزیت، داسیت-تراکی داسیت پرلیتی شده و ریوداسیت رده‌بندی شده‌اند که در ادامه به شرح آن‌ها پرداخته خواهد شد.

پیروکسن آندزیت-آنذیت: نمونه‌های آندزیتی به رنگ خاکستری تیره و در برخی نقاط به رنگ سرخ دیده می‌شوند. بافت غالب این سنگ‌ها پورفیری با خمیره‌ی میکرولیتی شیشه‌ای (شکل ۲ الف) بوده و گاهی دارای بافت‌های گلومروپورفیری (شکل ۲ ب)، پوئی کلیتیک، حفره‌ای و جریانی هستند. فنوکریست‌های شکل‌دار تا نیمه‌شکل‌دار پلازیوکلاز و خمیره‌ی ریزبلوری، حدود ۶۰ تا ۷۰ درصد این سنگ‌ها را تشکیل داده است. ترکیب پلازیوکلازها بر مبنای زاویه‌ی خاموشی در گستره‌ی الیگوکلاز قرار می‌گیرد. منطقه‌بندی نوسانی، بافت غربالی و خودگی خلیجی در برخی فنوکریست‌های پلازیوکلاز از نشانه‌های وجود شرایط عدم تعادل حین انجماد ماقما هستند [۱۶-۱۸]. فنوکریست‌های نیمه‌شکل‌دار تا شکل‌دار ارتوپیروکسن به میزان ۱۵ تا ۲۰ درصد در این سنگ‌ها دیده



شکل ۲ ویژگی‌های میکروسکوپی سنگ‌های گدازه‌ای منطقه‌ی شوشک (الف) بافت پورفیری با خمیره‌ی شیشه‌ای و حضور فنوکریست‌های ارتوپیروکسن و پلازیوکلاز در آندزیت (ب) بافت گلومروپورفیری و خمیره‌ی میکرولیتی در پیروکسن آندزیت‌ها؛ (پ) بافت پورفیری با خمیره‌ی شیشه‌ای و حضور فنوکریست‌های آمفیبول و پلازیوکلاز در داسیت‌ها؛ (ت) بافت پورفیری با خمیره‌ی ریزبلورین و فنوکریست‌های کوارتز گرد شده و پلازیوکلاز در ریوداسیت. نور در تمام شکل‌ها XPL و عالم اختصاری کانی‌ها بر گرفته از [۲۱] می‌باشد.

مجله، فقط نتایج تجزیه‌ی تعدادی از پلازیوکلазها به همراه محاسبه‌ی فرمول ساختاری آن‌ها در جدول ۱ آورده شدند. گستره‌ی ترکیبی پلازیوکلازها در این سنگ بین $Ab_{62\%}$ - $Ab_{30\%}$ تا $An_{30\%}$ - $An_{25\%}$ تغییر کرده و از نوع آندزین تا لبرادروریت هستند (شکل ۳ الف). تصویر بررسی کیفی پلازیوکلاز به روش EDS نیز که در شکل ۳ ب نشان داده شده است، ترکیب یاد شده را در آن‌ها تایید می‌کند. بررسی تجزیه‌ی نقطه‌ای بلورهای پلازیوکلاز از حاشیه به مرکز و سپس به سمت حاشیه‌ی بلور بینگر تغییرات مقدار آنورتیت آن‌ها وجود منطقه‌بندی است. در شکل ۴ الف و ب تصویر میکروسکوپ الکترونی روبشی و نیز نمودار تغییرات میزان Ca در یک بلور پلازیوکلاز نشان داده شد. تغییر مقادیر کلسیم در بخش‌های مختلف بلور (حاشیه-مرکز-حاشیه) می‌تواند نشان‌دهنده‌ی تغییرات در ترکیب ماغما باشد، زیرا ترکیب ماغما و فنوکریست‌ها از نظر ترمودینامیکی به یکدیگر وابسته‌اند.

شیمی پیروکسن

ترکیب شیمیایی پیروکسن می‌تواند در ارتباط با نوع ماغمای در برگیرنده‌ی آن‌ها باشد [۲۳-۲۵]، بنابراین بررسی شیمی این کانی می‌تواند اطلاعات ارزشمندی در ارتباط با خاستگاه ماغمای گدازه‌های منطقه شوشك در اختیار قرار دهد. نتایج تجزیه‌ی ریزکاوش الکترونی پیروکسنهای و محاسبه‌ی فرمول ساختاری آن در جدول ۲ آورده شده است. بنابر نمودار J-Q, Q=Ca+2Na+Mg+Fe+2 و $J = \frac{Q}{2}$ معروفی شده است. ترکیب شیمیایی پیروکسنهای منطقه‌ی مورد بررسی بنابراین نمودار در گستره‌ی پیروکسنهای کلسیم-منیزیم-آهن‌دار (Quad) قرار می‌گیرد (شکل ۵ الف). برای شناسایی دقیق ترکیب پیروکسنهای و تعیین مقدار اعضای انتهایی تشکیل دهنده آن‌ها از نمودار مثلثی Wo-En-Fs [۲۶] استفاده شد که بر اساس این نمودار، پیروکسنهای دارای ترکیب انستاپیت هستند (شکل ۵ ب). همچنین، تصویر آنالیز کیفی به روش EDS نیز ترکیب انستاپیت را برای آنها تایید می‌کند (شکل ۵ پ). ارتوپیروکسنهای مورد بررسی، حاوی مقداری منیزیم اندکی بیشتر از آهن بوده و دارای گستره ترکیبی $En_{50.5\%}$ - $En_{57.8\%}$ هستند. بررسی ترکیب ارتوپیروکسنهای حاکی از وجود مقادیر اندکی کلسیم در ساختار آن‌هاست، به طوریکه در نمودار رده‌بندی پیروکسنهای به کلینوانستاتیت متمایل هستند.

خوردگی خلیجی هستند. هورنبلند به صورت بلورهای لوزی-شکل (شکل ۲ ب)، بیوتیت و به ندرت پیروکسن از جمله کانی‌های مافیک هستند که در این سنگ‌ها وجود دارند. فنوکریست سانیدین با ماکله‌های کارلسپاد نیز به میزان حدود ۵٪ در داسیت‌ها مشاهده می‌شود که دارای حاشیه‌ی گرد شده هستند. فلدسپارها در برخی نمونه‌ها به سریسیت و کانی رسی تبدیل شده است. در برخی نمونه‌ها، کوارتز به صورت ریزبلور در زمینه‌ی سنگ وجود دارد و حدود ۱۰-۱۵ درصد حجم سنگ را تشکیل می‌دهد.

ربوداوسیت-ریولیت

این سنگ‌ها با شکل‌های گنبدی و گسترش محدود در منطقه‌ی مورد بررسی رخمنون داشته و در نمونه‌ی دستی به رنگ صورتی تا سفید مشاهده می‌شوند. بافت اصلی این سنگ‌ها پورفیری با خمیره ریزبلورین بوده (شکل ۲ ت)، که گاهی بافت‌های حفره‌ای، پوئی کلیتیک و اسفلولیتی نیز دیده می‌شود. میزان فنوکریست در این سنگ بسیار کم و شامل کوارتز، پلازیوکلاز، سانیدین، بیوتیت و به ندرت پیروکسن است. فنوکریست کوارتز به میزان حدود ۱۰٪ اغلب دارای حاشیه‌ی گرد شده (شکل ۲ ت) و بافت خلیجی است. پلازیوکلازها حدود ۲۵ تا ۳۰ درصد حجم فنوکریست‌ها را تشکیل می‌دهد و با توجه به زاویه خاموشی دارای ترکیب الیکوکلаз تا آندزین هستند. این کانی نیمه شکل‌دار تا بی‌شکل و دارای ردهای پلی-سنتیک و کارلسپاد، بافت غربالی و منطقه‌بندی است. فنوکریست سانیدین دارای رد کارلسپادی بوده و حدود ۱۰ تا ۱۵ درصد حجم فنوکریست‌ها را به خود اختصاص داده است. بیوتیت و به ندرت پیروکسن از کانی‌های مافیک هستند که به مقدار بسیار کم در این سنگ‌ها حضور دارند.

شیمی کانی‌ها

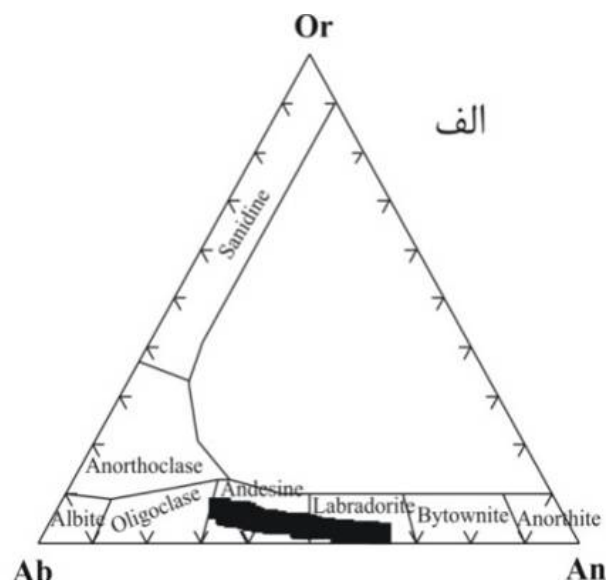
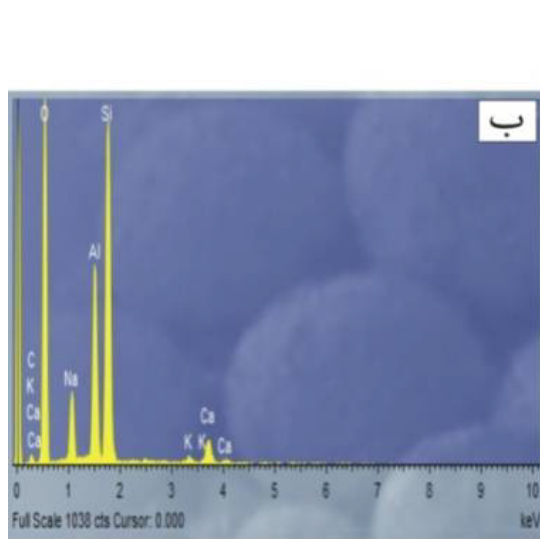
ترکیب فنوکریست‌ها و منطقه‌بندی ترکیبی آنها در سنگ‌های آتشفسانی، به شناخت فرآیندهای ماغمایی پیش و پس از فوران کمک می‌کند. برای پی‌بردن به ترکیب شیمی کانی‌ها و شرایط انجام ماغما، کانی‌های پلازیوکلاز و پیروکسن در گدازه‌های آندزیتی منطقه شوشك تجزیه ریزکاوش الکترونی شدند.

شیمی پلازیوکلازها

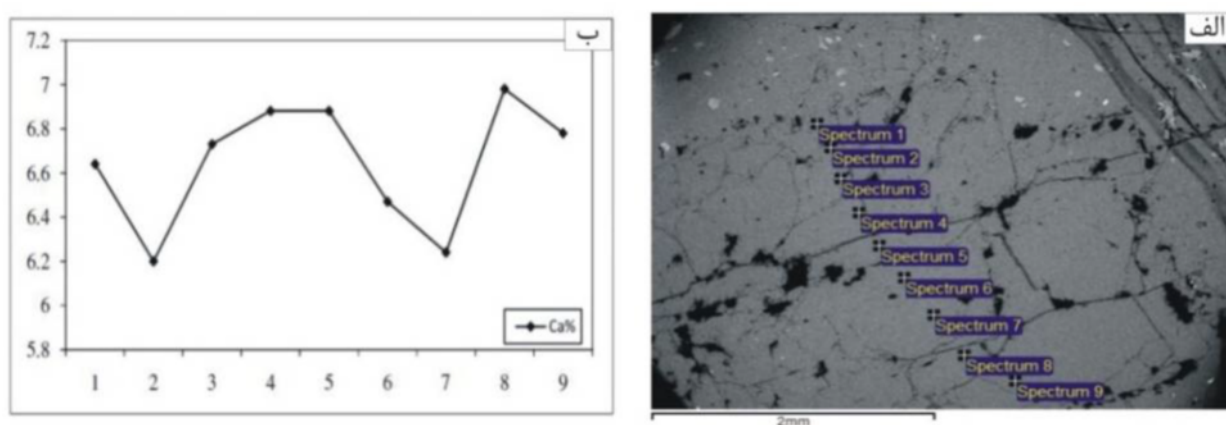
پلازیوکلاز فراوان‌ترین کانی تشکیل دهنده آندزیت‌های منطقه‌ی شوشك است. برای پی‌بردن به ترکیب شیمیایی این کانی در نمونه‌ی آندزیتی شوشك، بلورهای پلازیوکلازهای مختلف در ۸۰ نقطه‌ای مورد بررسی ریزکاوش الکترونی قرار گرفتند که به علت محدودیت تعداد صفحات قابل چاپ در

ادامه جدول ۱

Sample	pl21-R	pl22-C	pl31-C	pl32-M	pl35-R	pl36-R	pl37-M	pl38-C	pl53-R	pl54-C
SiO ₂	۶۰,۱۰	۵۹,۸۴	۵۹,۵۱	۵۹,۸۴	۶۰,۱۶	۵۹,۷۸	۵۹,۵۷	۵۹,۱۱	۵۷,۳۷	۵۵,۳۳
TiO ₂	۰,۰۰	۰,۰۴	۰,۰۰	۰,۰۳	۰,۰۲	۰,۰۷	۰,۰۰	۰,۰۰	۰,۰۲	۰,۰۰
Al ₂ O ₃	۲۴,۵۰	۲۴,۷۲	۲۴,۹۶	۲۴,۹۳	۲۴,۵۸	۲۴,۷۳	۲۴,۹۱	۲۵,۲۵	۲۶,۴۹	۲۷,۵۶
Cr ₂ O ₃	۰,۰۱	۰,۰۰	۰,۰۰	۰,۰۰	۰,۰۰	۰,۰۰	۰,۰۰	۰,۰۰	۰,۰۰	۰,۰۰
FeO	۰,۱۸	۰,۱۵	۰,۱۷	۰,۱۰	۰,۰۷	۰,۱۲	۰,۱۴	۰,۱۱	۰,۱۳	۰,۱۷
MnO	۰,۰۰	۰,۰۰	۰,۰۲	۰,۰۰	۰,۰۰	۰,۰۰	۰,۰۱	۰,۰۰	۰,۰۰	۰,۰۰
MgO	۰,۰۰	۰,۰۰	۰,۰۲	۰,۰۱	۰,۰۱	۰,۰۱	۰,۰۲	۰,۰۰	۰,۰۳	۰,۰۰
CaO	۶,۵۸	۷,۳۵	۶,۹۵	۶,۷۵	۶,۷۱	۷,۲۰	۷,۱۲	۷,۵۶	۸,۶۵	۱۰,۰۷
Na ₂ O	۶,۸۶	۶,۶۶	۶,۸۴	۶,۷۶	۶,۷۳	۶,۵۳	۶,۷۸	۶,۶۷	۵,۹۵	۵,۳۹
K ₂ O	۱,۰۸	۰,۹۴	۱,۰۰	۰,۹۴	۱,۰۵	۱,۰۲	۱,۰۱	۰,۸۷	۰,۸۷	۰,۵۱
Total	۹۹,۳۰	۹۹,۷۱	۹۹,۴۷	۹۹,۳۶	۹۹,۳۲	۹۹,۴۵	۹۹,۵۴	۹۹,۵۷	۹۹,۳۰	۹۹,۰۳
Si	۲,۷۰۰	۲,۶۸۲	۲,۶۷۴	۲,۶۸۵	۲,۷۰۰	۲,۶۸۴	۲,۶۷۵	۲,۶۵۶	۲,۵۹۰	۲,۵۱۷
Ti	۰,۰۰۰	۰,۰۰۱	۰,۰۰۰	۰,۰۰۱	۰,۰۰۱	۰,۰۰۲	۰,۰۰۰	۰,۰۰۱	۰,۰۰۱	۰,۰۰۰
Al	۱,۲۹۷	۱,۳۰۶	۱,۳۲۲	۱,۳۱۸	۱,۳۰۰	۱,۳۰۹	۱,۳۱۸	۱,۳۳۷	۱,۴۱۰	۱,۴۷۷
Cr	۰,۰۰۰	۰,۰۰۰	۰,۰۰۰	۰,۰۰۰	۰,۰۰۰	۰,۰۰۰	۰,۰۰۰	۰,۰۰۰	۰,۰۰۰	۰,۰۰۰
Fe ⁺⁺	۰,۰۰۷	۰,۰۰۶	۰,۰۰۶	۰,۰۰۴	۰,۰۰۳	۰,۰۰۵	۰,۰۰۵	۰,۰۰۴	۰,۰۰۵	۰,۰۰۶
Mn	۰,۰۰۰	۰,۰۰۰	۰,۰۰۱	۰,۰۰۰	۰,۰۰۰	۰,۰۰۰	۰,۰۰۰	۰,۰۰۰	۰,۰۰۰	۰,۰۰۰
Mg	۰,۰۰۰	۰,۰۰۰	۰,۰۰۱	۰,۰۰۱	۰,۰۰۰	۰,۰۰۰	۰,۰۰۱	۰,۰۰۰	۰,۰۰۲	۰,۰۰۰
Ca	۰,۳۱۷	۰,۳۵۳	۰,۳۲۵	۰,۳۲۴	۰,۳۲۳	۰,۳۴۶	۰,۳۴۲	۰,۳۶۴	۰,۴۱۸	۰,۴۹۱
Na	۰,۵۹۸	۰,۵۷۹	۰,۵۹۶	۰,۵۸۸	۰,۵۸۶	۰,۵۶۸	۰,۵۹۰	۰,۵۸۱	۰,۵۲۰	۰,۴۷۶
K	۰,۰۶۲	۰,۰۵۴	۰,۰۵۷	۰,۰۵۴	۰,۰۶۰	۰,۰۵۸	۰,۰۵۸	۰,۰۵۰	۰,۰۳۹	۰,۰۳۰
Total	۴,۹۸۱	۴,۹۸۰	۴,۹۹۲	۴,۹۷۵	۴,۹۷۲	۴,۹۷۳	۴,۹۹۰	۴,۹۹۲	۴,۹۸۴	۴,۹۹۷
Na / (Na+K+Ca)	۰,۶۱۲	۰,۵۸۷	۰,۶۰۳	۰,۶۰۹	۰,۶۰۵	۰,۵۸۴	۰,۵۹۶	۰,۵۸۴	۰,۵۳۳	۰,۴۷۷
K / (Na+K+Ca)	۰,۰۶۳	۰,۰۵۵	۰,۰۵۸	۰,۰۵۶	۰,۰۶۲	۰,۰۶۰	۰,۰۵۸	۰,۰۵۰	۰,۰۳۹	۰,۰۳۰
Ca / (Na+K+Ca)	۰,۳۲۴	۰,۳۵۸	۰,۳۳۹	۰,۳۳۶	۰,۳۳۳	۰,۳۵۶	۰,۳۴۶	۰,۳۶۶	۰,۴۲۸	۰,۴۹۲



شکل ۳ (الف) ترکیب پلازیوکلазهای مورد بررسی در نمودار تقسیم‌بندی فلدسپارها [۲۲]، (ب) تصویر آنالیز کیفی پلازیوکلاز به روش EDS.



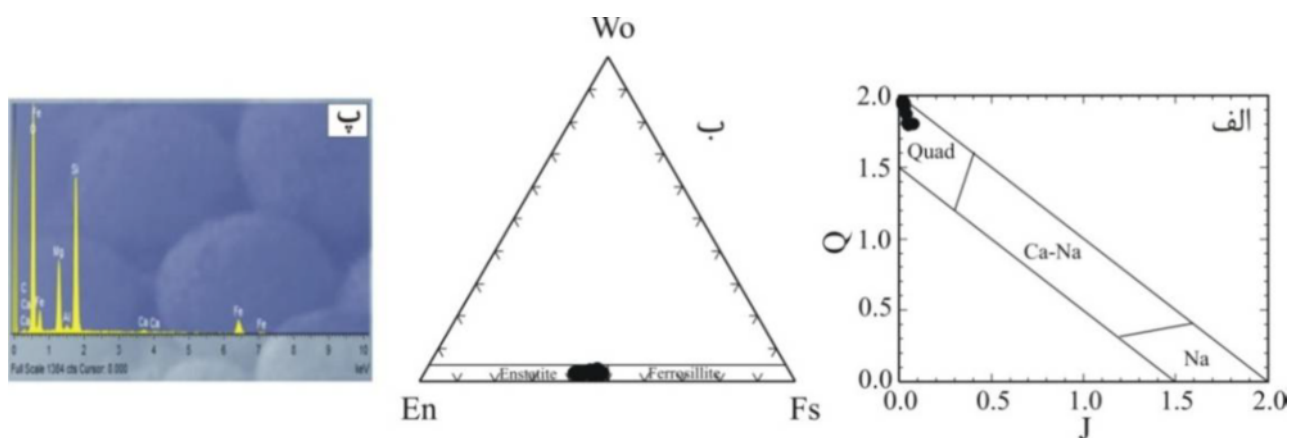
شکل ۴ الف) تصویر میکروسکوپ الکترونی بلور پلازیوکلار که موقعیت نقاط بررسی شده روی آن مشخص شده است؛ ب) نمودار تغییرات محتوای Ca که نشان‌دهنده منطقه‌بندی در بلور است.

جدول ۲ نتایج تجزیه ریزکاو الکترونی ارتوپیروکسن در گدازه‌های آندزیتی شوشک به همراه محاسبه فرمول ساختاری بر مبنای ۶ اتم اکسیژن

Sample	px1	px2	px3	px4	px5	px6	px7	px8	px9	px10
SiO_2	52,48	52,47	51,04	52,53	51,17	50,90	52,38	52,46	52,25	52,75
TiO_2	0,15	0,17	0,18	0,12	0,17	0,17	0,11	0,22	0,16	0,24
Al_2O_3	0,39	0,35	0,32	0,32	0,37	0,49	0,29	0,40	0,46	0,31
Cr_2O_3	0,01	0,00	0,00	0,00	0,00	0,03	0,00	0,00	0,00	0,00
FeO	24,90	25,96	27,34	26,15	27,32	26,52	25,05	24,86	25,43	25,21
MnO	0,57	0,60	0,67	0,69	0,65	0,66	0,58	0,54	0,57	0,63
MgO	20,14	19,54	18,30	19,63	18,68	18,45	19,97	20,24	19,90	19,71
CaO	1,24	1,14	1,14	1,14	1,21	1,17	1,19	1,21	1,17	1,22
Na_2O	0,04	0,01	0,03	0,00	0,00	0,06	0,01	0,04	0,01	0,02
K_2O	0,00	0,00	0,00	0,00	0,00	0,00	0,00	0,00	0,00	0,00
Total	99,91	100,23	99,00	100,07	99,56	98,45	99,58	99,97	99,95	100,08
Si	1,986	1,988	1,977	1,985	1,971	1,976	1,990	1,983	1,981	1,994
Ti	0,004	0,005	0,005	0,003	0,005	0,005	0,003	0,006	0,005	0,007
Al	0,017	0,016	0,015	0,014	0,017	0,023	0,013	0,018	0,021	0,014
Cr	0,000	0,000	0,000	0,000	0,001	0,000	0,000	0,000	0,000	0,000
Fe^{3+}	0,000	0,000	0,000	0,000	0,000	0,000	0,000	0,000	0,000	0,000
Fe^{2+}	0,788	0,823	0,886	0,827	0,880	0,861	0,796	0,786	0,806	0,797
Mn	0,018	0,019	0,022	0,022	0,021	0,022	0,019	0,017	0,018	0,020
Mg	1,136	1,103	1,057	1,106	1,073	1,068	1,131	1,141	1,125	1,111
Ca	0,050	0,046	0,047	0,046	0,050	0,049	0,049	0,049	0,048	0,049
Na	0,003	0,001	0,002	0,000	0,000	0,004	0,001	0,003	0,001	0,001
K	0,000	0,000	0,000	0,000	0,000	0,000	0,000	0,000	0,000	0,000
Total	4,003	4,000	4,011	4,004	4,016	4,009	4,001	4,003	4,004	3,993
$\text{Mg}(\text{Mg}+\text{Fe}^{2+})$	0,590	0,573	0,544	0,572	0,549	0,554	0,587	0,592	0,583	0,582
$\text{Fe}^{2+}/(\text{Fe}^{\text{tot}})$	1,000	1,000	1,000	1,000	1,000	1,000	1,000	1,000	1,000	1,000
$\text{Al}/(\text{Al}+\text{Fe}^{3+}+\text{Cr})$	0,990	1,000	1,000	1,000	1,000	0,963	1,000	1,000	1,000	1,000
En	0,575	0,559	0,531	0,559	0,536	0,540	0,573	0,577	0,569	0,568
Fs	0,399	0,417	0,445	0,418	0,439	0,435	0,403	0,398	0,407	0,407
Wo	0,025	0,023	0,024	0,023	0,025	0,025	0,025	0,025	0,024	0,025

ادامه جدول ۲

Sample	px11	px12	px13	px14	px15	px16	px17	px18	px19	px20
SiO ₂	۵۲,۶۱	۵۱,۵۶	۴۹,۲۸	۵۱,۲۲	۵۱,۱۴	۵۰,۸۸	۵۳,۲۷	۵۳,۵۱	۵۳,۸۴	۵۲,۳۵
TiO ₂	۰,۱۸	۰,۱۶	۰,۳۹	۰,۲۸	۰,۲۲	۰,۲۲	۰,۲۱	۰,۱۶	۰,۱۳	۰,۱۷
Al ₂ O ₃	۰,۴۳	۰,۳۶	۱,۶۵	۱,۰۳	۱,۱۹	۰,۵۶	۲,۵۱	۲,۶۱	۲,۵۵	۰,۴۳
Cr ₂ O ₃	۰,۰۰	۰,۰۰	۰,۰۰	۰,۰۰	۰,۰۰	۰,۰۱	۰,۰۰	۰,۰۰	۰,۰۰	۰,۰۰
FeO	۲۵,۳۷	۲۸,۵۸	۲۷,۵۰	۲۷,۸۸	۲۸,۰۰	۲۷,۰۹	۲۴,۶۳	۲۵,۰۰	۲۴,۵۳	۲۵,۰۲
MnO	۰,۵۵	۰,۶۰	۰,۴۹	۰,۵۸	۰,۶۰	۰,۵۳	۰,۵۰	۰,۵۴	۰,۴۹	۰,۶۰
MgO	۲۰,۱۱	۱۷,۲۸	۱۷,۵۲	۱۷,۵۷	۱۸,۱۰	۱۸,۱۰	۱۷,۱۱	۱۷,۰۱	۱۶,۸۸	۲۰,۳۳
CaO	۱,۰۰	۱,۱۵	۱,۷۴	۱,۰۵	۱,۱۹	۱,۰۰	۱,۳۱	۱,۳۳	۱,۴۲	۱,۱۵
Na ₂ O	۰,۰۱	۰,۰۰	۰,۱۵	۰,۰۵	۰,۰۵	۰,۰۶	۰,۴۰	۰,۱۷	۰,۲۱	۰,۰۸
K ₂ O	۰,۰۰	۰,۰۰	۰,۰۶	۰,۰۰	۰,۰۰	۰,۰۰	۰,۱۱	۰,۱۱	۰,۱۴	۰,۰۰
Total	۱۰۰,۲۵	۹۹,۶۸	۹۸,۷۷	۱۰۰,۱۵	۱۰۰,۴۷	۹۸,۴۶	۱۰۰,۰۵	۱۰۰,۴۳	۱۰۰,۱۸	۱۰۰,۱۳
Si	۱,۹۸۶	۱,۹۹۱	۱,۹۲۵	۱,۹۶۵	۱,۹۵۵	۱,۹۷۸	۲,۰۰۲	۲,۰۰۴	۲,۰۱۶	۱,۹۷۸
Ti	۰,۰۰۵	۰,۰۰۵	۰,۰۱۱	۰,۰۰۸	۰,۰۰۶	۰,۰۰۶	۰,۰۰۶	۰,۰۰۵	۰,۰۰۴	۰,۰۰۵
Al	۰,۰۱۹	۰,۰۱۶	۰,۰۷۶	۰,۰۴۶	۰,۰۵۳	۰,۰۲۶	۰,۱۱۱	۰,۱۱۵	۰,۱۱۲	۰,۰۱۹
Cr	۰,۰۰۰	۰,۰۰۰	۰,۰۰۰	۰,۰۰۰	۰,۰۰۰	۰,۰۰۰	۰,۰۰۰	۰,۰۰۰	۰,۰۰۰	۰,۰۰۰
Fe ³⁺	۰,۰۰۰	۰,۰۰۰	۰,۰۰۰	۰,۰۰۰	۰,۰۰۰	۰,۰۰۰	۰,۰۰۰	۰,۰۰۰	۰,۰۰۰	۰,۰۰۰
Fe ²⁺	۰,۸۰۱	۰,۹۲۳	۰,۸۹۸	۰,۸۹۵	۰,۸۹۵	۰,۸۸۱	۰,۷۷۴	۰,۷۸۳	۰,۷۶۸	۰,۷۹۱
Mn	۰,۰۱۷	۰,۰۲۰	۰,۰۱۶	۰,۰۱۹	۰,۰۱۹	۰,۰۱۷	۰,۰۱۶	۰,۰۱۷	۰,۰۱۵	۰,۰۱۹
Mg	۱,۱۳۱	۰,۹۹۵	۱,۰۲۰	۱,۰۰۵	۱,۰۲۲	۱,۰۴۹	۰,۹۵۸	۰,۹۴۹	۰,۹۴۲	۱,۱۴۵
Ca	۰,۰۴۰	۰,۰۴۸	۰,۰۷۳	۰,۰۶۴	۰,۰۴۹	۰,۰۴۲	۰,۰۵۳	۰,۰۵۳	۰,۰۵۷	۰,۰۴۷
Na	۰,۰۰۱	۰,۰۰۰	۰,۰۱۱	۰,۰۰۴	۰,۰۰۴	۰,۰۰۵	۰,۰۲۹	۰,۰۱۲	۰,۰۱۵	۰,۰۰۶
K	۰,۰۰۰	۰,۰۰۰	۰,۰۰۳	۰,۰۰۰	۰,۰۰۰	۰,۰۰۰	۰,۰۰۵	۰,۰۰۵	۰,۰۰۶	۰,۰۰۰
Total	۴,۰۰	۳,۹۹۶	۴,۰۳۳	۴,۰۰۵	۴,۰۱۴	۴,۰۰۵	۳,۹۵۴	۳,۹۴۳	۳,۹۳۵	۴,۰۱
Mg/(Mg+Fe ²⁺)	۰,۵۸۶	۰,۵۱۹	۰,۵۳۲	۰,۵۲۹	۰,۵۳۵	۰,۵۴۴	۰,۵۵۳	۰,۵۴۸	۰,۵۵۱	۰,۵۹۲
Fe ²⁺ /(Fe ^{tot})	۱,۰۰	۱,۰۰	۱,۰۰	۱,۰۰	۱,۰۰	۱,۰۰	۱,۰۰	۱,۰۰	۱,۰۰	۱,۰۰
Al/(Al+Fe ³⁺ +Cr)	۱,۰۰	۱,۰۰	۱,۰۰	۱,۰۰	۱,۰۰	۰,۹۸۸	۱,۰۰	۱,۰۰	۱,۰۰	۱,۰۰
En	۰,۵۷۴	۰,۵۰۶	۰,۵۱۲	۰,۵۱۲	۰,۵۲۲	۰,۵۳۲	۰,۵۳۷	۰,۵۳۲	۰,۵۳۳	۰,۵۷۸
Fs	۰,۴۰۶	۰,۴۷۰	۰,۴۵۱	۰,۴۵۶	۰,۴۵۳	۰,۴۴۷	۰,۴۳۴	۰,۴۲۸	۰,۴۳۵	۰,۳۹۹
Wo	۰,۰۲۱	۰,۰۲۴	۰,۰۳۷	۰,۰۳۲	۰,۰۲۵	۰,۰۲۱	۰,۰۳۰	۰,۰۳۰	۰,۰۳۲	۰,۰۲۳



شکل ۵ (الف) قرارگیری پیروکسن‌های منطقه‌شوشک در گستره‌ی Quad؛ ب) پیروکسن‌های منطقه‌شوشک در گستره‌ی انستابیت قرار می-گیرند [۲۶]؛ پ) نمودار آنالیز کیفی به روشن EDS مربوط به پیروکسن‌های مورد بررسی.

Y_{PT} با کمک داده‌های آنالیز نقطه‌ای و بر مبنای روابط زیر انجام می‌شود.

$$X_{PT} = 0.446\text{SiO}_2 + 0.187\text{TiO}_2 - 0.404\text{Al}_2\text{O}_3 +$$

$$0.346\text{FeO}^{(\text{tot})} - 0.052\text{MnO} + 0.309\text{MgO} +$$

$$0.431\text{CaO} - 0.446\text{Na}_2\text{O}$$

$$Y_{PT} = -0.369\text{SiO}_2 + 0.535\text{TiO}_2 - 0.317\text{Al}_2\text{O}_3 +$$

$$0.322\text{FeO}^{(\text{tot})} + 0.235\text{MnO} - 0.516\text{MgO} - 0.167\text{CaO} -$$

$$- 0.153\text{Na}_2\text{O}$$

برتری این روش دماسنجدی این است که ۱) حضور دو پیروکسن برای دماسنجدی الزامی نیست ۲) برای انواع پیروکسن‌های کلسیم-منیزیم-آهن‌دار و منیزیم-آهن‌دار قابل استفاده است. بر اساس این روش، دمای تشكیل پیروکسن‌های مورد بررسی، ۱۰۵۰ تا ۱۱۰۰ درجه سانتی‌گراد تعیین شد (شکل ۷).

استفاده از مقدار کلسیم در ارتپیروکسن یکی دیگر از روش‌های دماسنجدی تک پیروکسنی است [۳۰]. در این روش، دمای تبلور ارتپیروکسن بر مبنای رابطه‌ی زیر بدست می‌آید:

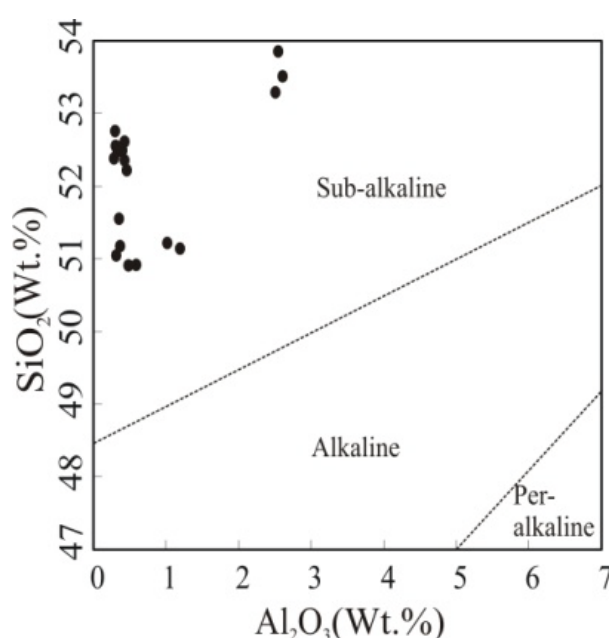
$$T_{\text{Ca in Opx}}(K) = 6425 + 26.4P / (-\ln \text{Ca}^{\text{Opx}} + 1.843)$$

در این رابطه، دما بر حسب کلوین و فشار بر حسب کیلوبار است. بر اساس نتایج بدست آمده، دمای تبلور ارتپیروکسن در گدازه‌های آندزیتی منطقه‌شوشک، در فشار ۱ تا ۱۰ کیلوبار، به صورت میانگین بین ۱۰۵۰ تا ۱۱۵۰ درجه سانتی‌گراد محاسبه شد (جدول ۳) با نتایج حاصل از روش [۲۵] همخوانی دارد.

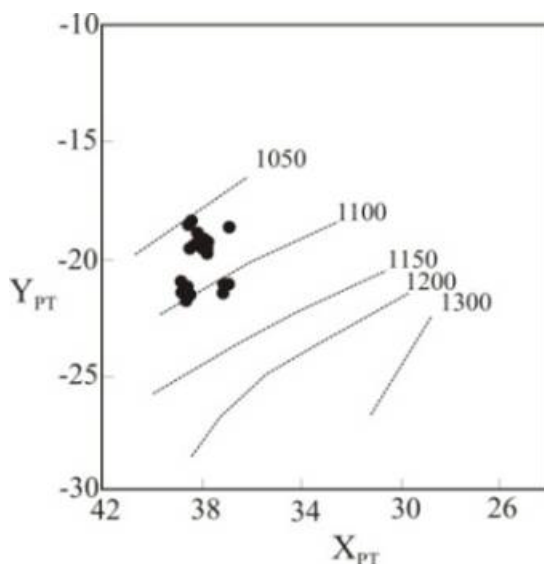
اکسیدهایی نظیر Al_2O_3 و SiO_2 نقش تعیین کننده‌ای در سرشت و نوع ماقمها دارند زیرا مقادیر Si و Al درون شبکه‌ی ساختاری پیروکسن به درجه‌ی قلیایی بودن بستگی دارد. لذا براساس وجود مقادیر Al_2O_3 در برابر SiO_2 و پیروکسن‌ها می‌توان سه رشته‌ی ماقمایی نیمه قلیایی، قلیایی و شبه قلیایی را از یکدیگر تفکیک نمود [۲۸]. موقعیت قرارگیری پیروکسن‌های مورد بررسی در نمودار Al_2O_3 در مقابل SiO_2 نشان می‌دهد که ترکیب ماقمای سازنده سنگ‌های منطقه شوشک در قلمرو سری نیمه‌قلیایی قرار می‌گیرد (شکل ۶) که با ماهیت آهکی قلیایی نمونه‌ها بر مبنای ژئوشیمی سنگ کل همخوانی دارد. حضور ارتپیروکسن در ماقمای کمان به دلیل فعالیت بالای سیلیس در این ماقمای است. واکنش‌های آب-سنگ در گوشه‌ی یا شاره‌های آب‌دار می‌تواند موجب غنی‌شدگی ارتپیروکسن شود [۲۹].

دماسنجدی

با استفاده از ترکیب شیمیایی پیروکسن‌ها می‌توان دمای تبلور آنها را محاسبه کرد، که به شناخت شرایط فیزیکی حاکم بر تبلور کمک می‌کند. برای بررسی دمای تشكیل پیروکسن‌ها روش‌های دماسنجدی مختلفی پیشنهاد شده است که در این پژوهش از دو روش استفاده شده است. در روش ارائه شده توسط [۲۵]، برآورد دما براساس محاسبه‌ی دو شاخص X_{PT} و



شکل ۶ موقعیت پیروکسن‌ها بر روی نمودار Al_2O_3 در مقابل SiO_2 برای تعیین سری ماقمایی [۲۸].



شکل ۷ تعیین دمای تبلور پیروکسن‌های منطقه شوشک با استفاده از روش [۲۵].

جدول ۳ دماهای محاسبه شده در فشارهای ۱، ۵ و ۱۰ کیلوبار برای ارتوبیروکسن موجود در گدازهای آندزیتی منطقه شوشک

Sample	P=1Kb	P=5Kb	P=10 Kb
px1	1.06.	1.082	1.109
px2	1.038	1.059	1.086
px3	1.043	1.065	1.092
px4	1.038	1.059	1.086
px5	1.060	1.082	1.109
px6	1.055	1.076	1.104
px7	1.055	1.076	1.104
px8	1.055	1.076	1.104
px9	1.049	1.071	1.098
px10	1.055	1.076	1.104
px11	1.001	1.022	1.048
px12	1.049	1.071	1.098
px13	1.173	1.197	1.227
px14	1.132	1.155	1.184
px15	1.055	1.076	1.104
px16	1.014	1.035	1.061
px17	1.076	1.099	1.126
px18	1.076	1.099	1.126
px19	1.097	1.120	1.148
px20	1.043	1.065	1.092

وسیله Mg# پایین (<40) مشخص می‌شود، در حالی که مذاب‌های با Mg# بالا (>40) فقط بواسیله مشارکت اجزای گوشه حاصل می‌شود [۳۳، ۳۲]. میزان Mg# آندزیت‌ها از ۴۶/۴۲-۵۸/۹۴ متغیر است که بیانگر نقش اجزای گوشه در تشکیل آن‌هاست. این سنگ‌ها براساس نمودار تمایزی K_2O - $Na_2O + K_2O$ سیلیسیک [۳۴] در گستره‌ی آهکی-قلیابی پتابسیم متوسط تا شوشونیتی قرار می‌گیرند، به طوری که آندزیت‌ها ماهیت پتابسیم متوسط، ریولیت‌ها پتابسیم بالا و داسیت‌ها ویژگی

ژئوشیمی

نتایج آنالیز ژئوشیمیایی عناصر اصلی و کمیاب نمونه‌های مورد بررسی در جدول ۴ آورده شده‌اند. نمونه‌های مورد بررسی در نمودار تغییرات مجموع قلیابی‌ها ($Na_2O + K_2O$) در برابر سیلیس که توسط [۳۱] معرفی شده است شامل آندزیت، تراکی داسیت و ریولیت است (شکل ۸ الف). برپایه‌ی بررسی‌های تجربی معلوم شد که Mg# شاخص مفیدی برای شناخت گدازهای ریشه گرفته از پوسته یا گوشه‌ای پتابسیم بازالتی، صرف نظر از درجه‌ی ذوب‌بخشی به پوسته‌ی زیرین بازالتی،

(شکل ۹ الف). در این نمودار عناصر Zr, Th, Rb, Cs, U و K بیهنجاری مثبت و عناصر Ti, P, Nb, Ba و P بیهنجاری منفی نشان می‌دهند. نمودار الگوی عناصر خاکی کمیاب بهنجار شده نسبت به کندریت [۳۷] نشان دهنده غنی‌شدگی LREE تهی شدگی HREE و بیهنجاری منفی Eu/Eu^{*} = ۰,۲۹–۰,۸۵ است که بیانگر نقش هورتنبلند و پلازیوکلار در فرآیند تکامل این سنگ‌هاست (شکل ۹ ب).

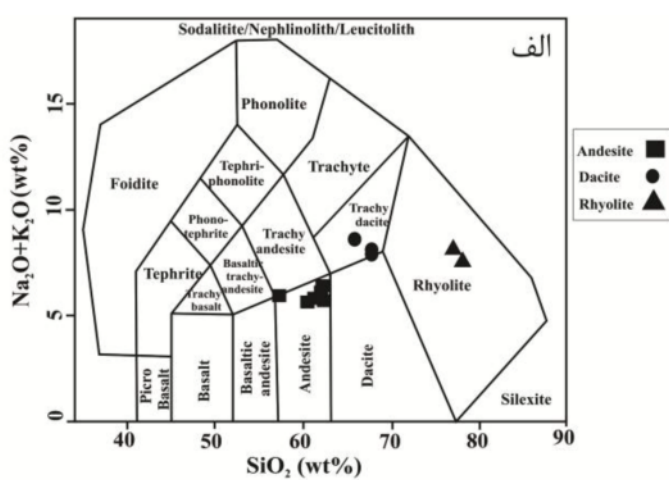
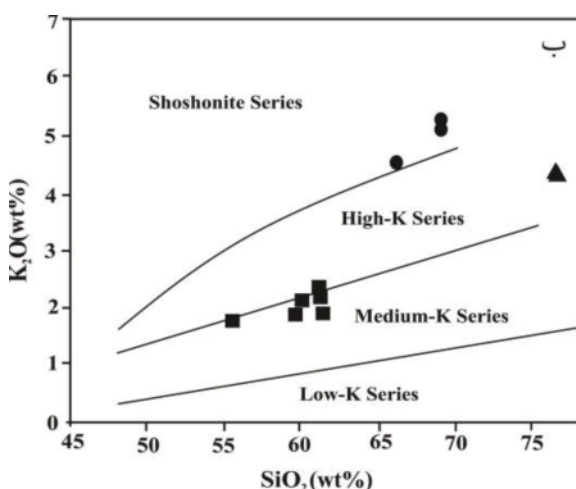
شوشونیتی نشان می‌دهند (شکل ۸ ب). ماهیت شوشونیتی نمونه‌های داسیتی احتمالاً به رخداد فرایند دگرسانی در آن‌ها وابسته است. سنگ‌های آتشفسانی آهکی قلیایی (آندزیت، داسیت، ریولیت) از محصولات مهم محیط‌های زمین‌ساختی مرزهای صفات همگرا هستند [۳۵]. در نمودار چند عنصری بهنجار شده نسبت به گوشه‌های اولیه [۳۶] غنی‌شدگی عناصر لیتوفیل بزرگ یون (LILE) نسبت به HFSE مشاهده می‌شود

جدول ۴ نتایج آنالیز ژئوشیمیایی عناصر اصلی (بر حسب %wt.) و کمیاب (بر حسب ppm) سنگ‌های آتشفسانی شوشک

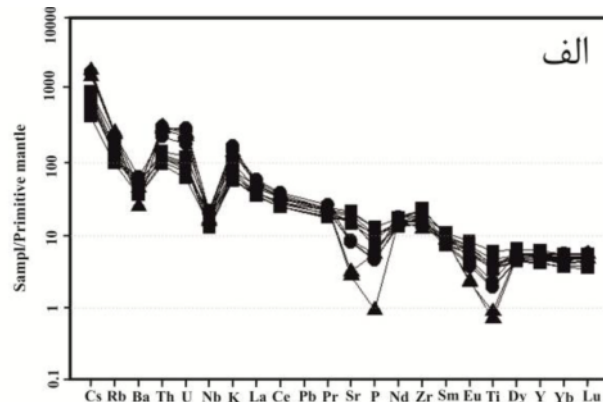
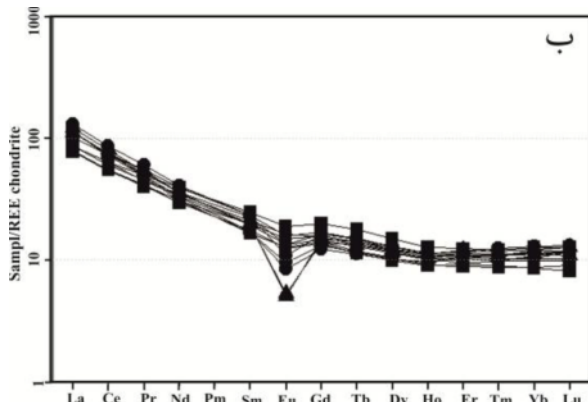
Sample No.	RB3	GB37	RB17a	RB21	RB24	RB31
Rock type	Andesite	Andesite	Andesite	Andesite	Andesite	Andesite
location	X	۵۹°۵۶'۵۱"	۵۹°۵۶'۵۱"	۵۹°۵۶'۴۳"	۵۹°۵۷'۱۹"	۵۹°۵۷'۲۳"
	Y	۲۲۰۳۶'۴"	۲۲۰۳۶'۴"	۲۲۰۳۸'۳۳"	۲۲۰۳۷'۵۴"	۲۲۰۳۶'۱۷"
SiO ₂	۵۵,۳۳	۶۱,۱	۶۳,۱	۶۱,۰	۵۹,۴۳	۶۰,۹۸
TiO ₂	۱,۳۰	۰,۷۶	۰,۷۲	۰,۷۹	۰,۸۴	۰,۸۳
Al ₂ O ₃	۱۸,۱۷	۱۶,۷۷	۱۶,۱۵	۱۶,۳۵	۱۶,۶۹	۱۷,۱۲
Fe ₂ O _{۳T}	۷,۲۲	۴,۸۸	۴,۵۰	۵,۰۵	۵,۵۹	۵,۰۰
MnO	۰,۱۰	۰,۰۸	۰,۰۸	۰,۰۸	۰,۱۰	۰,۰۸
MgO	۲,۳۳	۳,۴۹	۲,۳۳	۳,۵۴	۴,۰۳	۲,۵۰
CaO	۷,۲۱	۵,۸۵	۴,۲۹	۵,۴۲	۶,۲۰	۵,۲۹
Na ₂ O	۳,۹۴	۲,۲۴	۳,۹۲	۳,۵۸	۳,۵۷	۳,۸۲
K ₂ O	۱,۷۰	۲,۱۲	۲,۹۸	۲,۳۰	۱,۸۲	۲,۳۱
P ₂ O _۵	۰,۲۸	۰,۱۵	۰,۱۹	۰,۲۲	۰,۲۳	۰,۲۸
LOI	۲,۲۰	۱,۳۰	۱,۵۰	۱,۴۰	۱,۳۰	۱,۶۰
Sum	۹۹,۸۰	۹۹,۸۱	۹۹,۸۱	۹۹,۷۹	۹۹,۷۹	۹۹,۷۹
Cs	۷,۷۰	۶,۰۰	۷,۵۰	۴,۹۰	۲,۵۰	۵,۲۰
Ga	۱۷,۷۰	۱۵,۱۰	۱۵,۲۰	۱۴,۲۰	۱۴,۱۰	۱۵,۸۰
Hf	۴,۶۰	۳,۹۰	۵,۸۰	۵,۱۰	۴,۸۰	۵,۵۰
Nb	۱۴,۴۰	۹,۱۰	۱۰,۲۰	۱۱,۹۰	۱۰,۲۰	۱۴,۸۰
Rb	۱۳۷,۲۰	۷۹,۷۰	۹۸,۴۰	۸۴,۰۰	۶۳,۱۰	۸۵,۳۰
Sr	۴۲۲,۰۰	۳۴۵,۹۰	۳۰,۱۹	۳۴۷,۷۰	۳۲۲,۸۰	۴۵۰,۰۰
Ta	۰,۹	۰,۷۰	۱,۱۰	۰,۹۰	۰,۸۰	۱,۰۰
Th	۸,۸۰	۱۰,۵۰	۱۲,۵۰	۹,۵۰	۸,۲۰	۱۰,۴۰
U	۱,۶۰	۲,۰۰	۲,۶۰	۲,۰۰	۱,۳۰	۱,۷۰
V	۱۲,۰۰	۹۳,۰۰	۶۱,۰۰	۸۲,۰۰	۹۱,۰۰	۸۴,۰۰
Zr	۲۱۲,۰۰	۱۶۵,۱۰	۲۶۵,۳۰	۲۱۹,۱۰	۲۱۱,۲۰	۲۴۹,۴۰
Y	۲۸,۲۰	۱۸,۸۰	۲۲,۸۰	۲۱,۵۰	۲۳,۲۰	۲۴,۲۰
La	۲۶,۶۰	۲۴,۶۰	۳۱,۳۰	۲۶,۹۰	۲۴,۵۰	۳۴,۳۰
Ce	۵۱,۸۰	۴۴,۷۰	۵۸,۸۰	۵۱,۰۰	۴۴,۶۰	۶۰,۲۰
Pr	۶,۰۴	۴,۸۶	۶,۲۲	۵,۳۸	۵,۰۹	۶,۷۳
Nd	۲۳,۶۰	۱۸,۷۰	۲۱,۷۰	۲۰,۰۰	۱۸,۲۰	۲۳,۶۰
Sm	۴,۷۹	۳,۲۱	۴,۳۹	۳,۸۲	۲,۸۸	۴,۵۱
Eu	۱,۳۸	۰,۹۳	۰,۹۸	۰,۹۹	۱,۱۰	۱,۱۶
Gd	۰,۱۸	۳,۶۴	۴,۲۵	۳,۸۱	۴,۰۵	۴,۴۰
Tb	۰,۸۵	۰,۵۶	۰,۷۲	۰,۶۱	۰,۶۷	۰,۷۱
Dy	۴,۸۰	۳,۲۵	۴,۰۸	۳,۶۶	۴,۰۱	۳,۹۳
Ho	۰,۹۱	۰,۶۵	۰,۸۲	۰,۷۲	۰,۷۸	۰,۸۱
Er	۲,۶۰	۱,۹۴	۲,۲۴	۲,۲۱	۲,۲۵	۲,۲۷
Tm	۰,۳۹	۰,۲۹	۰,۳۵	۰,۳۳	۰,۳۳	۰,۳۵
Yb	۲,۶۶	۱,۷۸	۲,۵۰	۲,۱۲	۲,۱۸	۲,۳۵
Lu	۰,۴۱	۰,۲۶	۰,۳۸	۰,۳۳	۰,۳۷	۰,۳۷
(La/Yb) _N	۷,۱۷	۹,۹۱	۸,۹۹	۹,۱	۸,۰۰	۱۰,۰۰
Eu/Eu*	۰,۸۵	۰,۸۳	۰,۸۹	۰,۷۹	۰,۸۵	۰,۷۹

ادامه جدول ۴

Sample No.	GB30	DB26	GB12	RB32	RB7	DB44	GB42
Rock type	Andesite	Andesite	Trachydacit	Trachydacit	Trachydacite	Rhyolite	Rhyolite
location	X	۵۹°۵۶'۲۶"	۵۹°۵۶'۲۶"	۵۹°۵۷'۴۹"	۵۹°۵۷'۴۹"	۵۹°۵۶'۳۹"	۵۹°۵۶'۴۰"
	Y	۳۲°۳۷'۱"	۳۲°۳۷'۱"	۳۲°۳۸'۱۰"	۳۲°۳۸'۱۰"	۳۲°۳۷'۴"	۳۲°۳۷'۴"
SiO ₂	۵۹,۹۲	۶۱,۲۲	۶۸,۸۵	۶۸,۸۴	۶۶,۰۳	۷۶,۲۵	۷۶,۳۱
TiO ₂	۱,۰۰	۰,۷۵	۰,۴۲	۰,۴۱	۰,۴۹	۰,۱۹	۰,۱۵
Al ₂ O ₃	۱۸,۱۷	۱۶,۶۸	۱۴,۲۴	۱۴,۱۲	۱۵,۲۵	۱۱,۶۶	۱۱,۹۶
Fe ₂ O _{3T}	۴,۸۵	۴,۷۰	۲,۵۰	۲,۴۶	۳,۰۷	۰,۷۴	۱,۶۶
MnO	۰,۰۷	۰,۰۸	۰,۰۵	۰,۰۵	۰,۰۶	۰,۰۱	۰,۰۲
MgO	۲,۰۸	۲,۴۲	۰,۶۸	۰,۶۴	۰,۷۲	۰,۳۰	۰,۰۹
CaO	۶,۱۰	۵,۸۶	۱,۹۲	۱,۷۶	۲,۲۱	۱,۰۰	۰,۷۵
Na ₂ O	۲,۴۳	۲,۶۶	۲,۸۹	۲,۷۶	۳,۷۸	۲,۹۹	۳,۵۹
K ₂ O	۲,۰۴	۱,۸۰	۰,۰۰	۰,۲۶	۴,۴۵	۴,۲۴	۴,۲۳
P ₂ O ₅	۰,۲۲	۰,۱۵	۰,۱۰	۰,۱۰	۰,۱۲	۰,۱۲	۰,۰۲
LOI	۱,۹۰	۱,۵۰	۳,۲۰	۳,۵۰	۳,۷۰	۲,۴۰	۱,۱۰
Sum	۹۹,۸۳	۹۹,۸۱	۹۹,۸۸	۹۹,۸۹	۹۹,۸۵	۹۹,۹۲	۹۹,۹۲
Cs	۶,۴۰	۵,۸۰	۱۴,۷۰	۱۴,۶۰	۱۴,۱۰	۱۵,۴۰	۱۲,۷۰
Ga	۱۶,۸۰	۱۵,۶۰	۱۴,۸۰	۱۳,۷۰	۱۵,۶۰	۱۳,۶۰	۱۳,۱۰
Hf	۴,۲۰	۴,۰۰	۴,۹۰	۴,۸۰	۶,۲۰	۳,۹۰	۴,۶۰
Nb	۱۱,۰۰	۹,۰۰	۱۴,۷۰	۱۵,۹۰	۱۴,۷۰	۱۱,۱۰	۱۱,۹۰
Rb	۸۹,۳۰	۷۵,۷۰	۱۵۹,۶۰	۱۵۸,۴۰	۱۵۶,۷۰	۱۶۹,۵۰	۱۵۹,۱۰
Sr	۴۱۳,۸۰	۳۵۷,۴۰	۱۷۸,۲۰	۱۶۶,۴۰	۱۸۰,۳۰	۶۵,۹۰	۵۷,۷۰
Ta	۰,۹۰	۰,۸۰	۱,۴۰	۱,۴۰	۱,۳۰	۱,۳۰	۱,۲۰
Th	۱۱,۴۰	۱۰,۰۰	۲۶,۰۰	۲۷,۴۰	۲۰,۰۰	۲۷,۳۰	۲۵,۶۰
U	۲,۱۰	۱,۹۰	۶,۴۰	۵,۹۰	۳,۹۰	۵,۴۰	۴,۹۰
V	۶۳,۰۰	۹۳,۰۰	۲۷,۰۰	۲۳,۰۰	۳۱,۰۰	۸,۰۰	۸,۰۰
Zr	۱۷۵,۱۰	۱۶۸,۱۰	۱۹۸,۷۰	۱۹۱,۴۰	۲۰۴,۲۰	۱۳۸,۳۰	۱۷۴,۱۰
Y	۲۰,۸۰	۱۹,۰۰	۲۰,۹۰	۲۰,۷۰	۲۵,۱۰	۲۵,۸۰	۲۲,۲۰
La	۲۶,۶۰	۲۴,۱۰	۳۵,۱۰	۳۵,۳۰	۴۰,۶۰	۳۴,۸۰	۳۷,۸۰
Ce	۴۸,۳۰	۴۴,۰۰	۵۸,۳۰	۶۰,۷۰	۷۰,۰۰	۵۹,۵۰	۶۴,۷۰
Pr	۵,۰۴	۴,۹۸	۵,۱۹	۶,۰۷	۷,۳۳	۶,۵۹	۶,۵۴
Nd	۲۰,۸۰	۱۷,۷۰	۱۸,۴۰	۱۹,۷۰	۲۴,۲۰	۲۱,۳۰	۲۱,۷۰
Sm	۴,۰۸	۳,۴۱	۲,۳۰	۲,۳۵	۴,۵۱	۳,۸۷	۳,۸۰
Eu	۱,۱۹	۰,۹۲	۰,۷۰	۰,۶۲	۰,۷۹	۰,۳۷	۰,۳۹
Gd	۴,۰۲	۳,۵۱	۲,۳۹	۲,۱۹	۴,۲۳	۳,۸۵	۳,۶۱
Tb	۰,۶۳	۰,۵۴	۰,۵۵	۰,۵۳	۰,۷۱	۰,۶۷	۰,۶۳
Dy	۳,۸۷	۳,۱۹	۲,۳۱	۲,۲۵	۴,۱۴	۳,۸۶	۳,۷۰
Ho	۰,۷۵	۰,۶۵	۰,۶۸	۰,۶۹	۰,۸۲	۰,۸۰	۰,۷۳
Er	۱,۹۶	۱,۸۵	۲,۲۲	۲,۱۶	۲,۴۲	۲,۵۳	۲,۳۸
Tm	۰,۳۲	۰,۲۸	۰,۳۶	۰,۳۲	۰,۴۰	۰,۳۸	۰,۳۶
Yb	۲,۰۶	۱,۸۳	۲,۳۸	۲,۲۶	۲,۷۲	۲,۵۶	۲,۳۲
Lu	۰,۳۲	۰,۲۹	۰,۳۸	۰,۳۸	۰,۴۲	۰,۴۱	۰,۳۵
(La/Yb) _N	۹,۲۶	۹,۴۵	۱۰,۵۷	۱۱,۲۱	۱۰,۷	۹,۷۶	۱۱,۶۸
Eu/Eu*	۰,۹۰	۰,۸۱	۰,۶۴	۰,۵۸	۰,۵۵	۰,۲۹	۰,۳۲



شکل ۸ (الف) نمودار رده‌بندی شیمیایی بر حسب مجموع قلیایی‌ها ($\text{Na}_2\text{O} + \text{K}_2\text{O}$) در برابر SiO_2 [۳۱]؛ (ب) نمودار K_2O در مقابل SiO_2 [۳۴] و موقعیت سنگ‌های آتشفشاری منطقه شوشک.



شکل ۹ (الف) الگوی عنصر کمیاب بهنجار شده نسبت به گوشته‌ی اولیه [۳۷]، (ب) الگوی عناصر کمیاب خاکی بهنجار شده نسبت به کندریت در گدازه‌های منطقه شوشک [۳۶]، (علائم مشابه شکل ۸).

لیتوسفر فرورونده که از Nb فقیر و از LILE غنی هستند، منجر به دگرنهادی گوه گوشته بالایی و پس از آن بهنجاری Ti و Nb می‌شود [۵۳، ۴۷]. بهنجاری منفی Nb و Ti شاخص سنگ‌های قاره‌ای است و می‌تواند نشان دهنده‌ی مشارکت پوسته در فرایندهای ماقمایی باشد [۵۴]. بهنجاری‌های مثبت Th و U در نمودارهای عنکبوتی نشانه‌ی اضافه شدن رسوب‌های پلاژیک و یا پوسته اقیانوسی دگرسان شده به خاستگاه ذوب‌شدگی است [۵۵]. تهی‌شدگی Ba می‌تواند بیانگر تفرقی فلدسپارها [۵۶] و خاستگاه فرورانش [۵۷] باشد. وجود بیهنجاری منفی Eu از ویژگی‌های گدازه‌های آهکی قلیایی وابسته به فرورانش [۵۸، ۵۲] و در ارتباط با تفرقی فلدسپارها در طول تبلور ماغما و یا باقی‌ماندن فلدسپات در خاستگاه می‌باشد [۵۳].

بحث

محیط زمین‌ساختی و خاستگاه

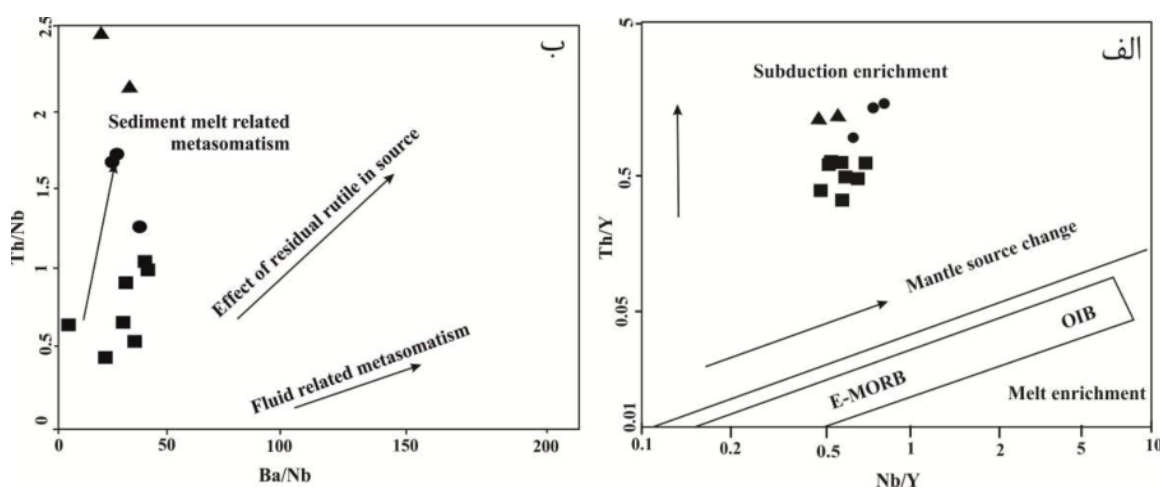
سنگ‌های آتشفشاری منطقه‌ی مورد بررسی در نمودارهای بهنجار شده نسبت به گوشته‌ی اولیه (شکل ۹ (الف)) و کندریت LREE و LILE (شکل ۹ (ب)، غنی‌شدگی چشمگیری در HFSE نشان می‌دهند و علاوه بر آن، دارای بهنجاری منفی از عناصر Nb و Ti است که این ویژگی-ها خاص محیط‌های وابسته به فروانش هستند [۴۷-۴۹]. به عقیده‌ی بسیاری از پژوهندگان، بهنجاری منفی Nb و Ba ، Ti و Rb می‌باشد. عناصر LIL قابلیت آلیش پوسته‌ای ماقمایی هستند [۵۱-۵۲]. عناصر HFSE در شاره‌ها دارند [۵۲]، اتحالن بیشتری نسبت به فرورانش، شاره‌های آزاد شده از بخش بالای بنابراین در مناطق فرورانش، شاره‌های آزاد شده از بخش بالای

آنزیت، داسیت و ریولیت‌ها در محیط‌های زمین‌ساختی مختلف یافت می‌شوند، ولی بیشتر در مناطق فرورانش (قوس جزیره و حاشیه‌ی فعل قاره‌ای) وجود داشته و ترکیب آن‌ها در این گونه محیط‌ها به فرایندهای داخلی در مرزهای همگرا بستگی دارد [۴۳]. مآگماهای وابسته به قوس آتشفشاری بیشتر آهکی-قلیایی بوده و انواع تولئیتی و قلیایی از اهمیت کمتری برخوردارند. چنانکه در بخش شیمی کانی‌ها بیان شد، ترکیب پیروکسن‌های مورد بررسی، نشان‌دهنده ماهیت ساب‌آلکالن برای مآگمای سازنده‌ی گدازه‌های شوشک می‌باشد که با ماهیت آهکی-قلیایی نمونه‌ها بر مبنای ژئوشیمی سنگ کل همخوانی دارد. حضور ارتوپیروکسن از سرشتی‌های مآگماهای کمان و ناشی از فعالیت بالای سیلیس در این مآگماها است. واکنش‌های آب-سنگ در گوشته‌ی یا شاره‌های آبدار می‌تواند باعث غنی‌شدنی ارتوپیروکسن شود [۲۹]. این شاره‌ها، سیلیس را به درون گوشته وارد می‌کند. بنا بر این، ذوب‌بخشی پریدوتیت گوه گوشته‌ای که تحت تاثیر شاره‌ها و مواد فرار پوسته اقیانوسی قرار گرفته است، به عنوان منشاء گدازه‌های آندزیتی منطقه شوشک تایید می‌گردد.

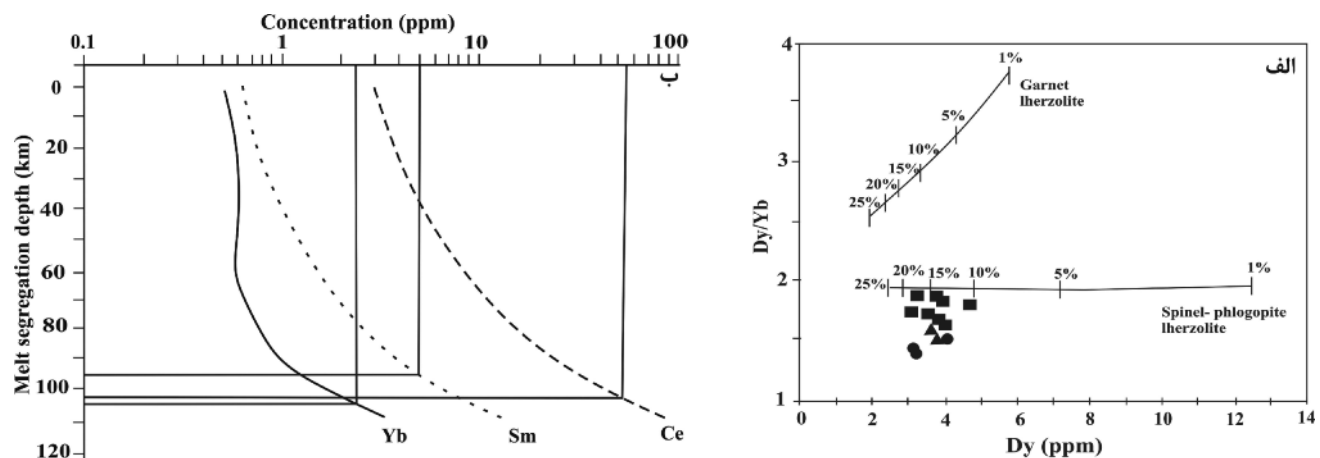
به عقیده [۶۵] از نسبت عناصر کمیاب Zr/Y می‌توان برای تشخیص رژیم زمین‌ساختی استفاده کرد. به این صورت که مقادیر $Zr/Y > 3$ به کمان‌های آتشفشاری قاره‌ای و مقادیر $Zr/Y < 3$ به کمان‌های آتشفشاری اقیانوسی تعلق دارند. سنگ‌های آتشفشاری منطقه شوشک دارای نسبت Zr/Y بیشتر از ۳ بوده [۱۴] (۵/۳۶-۱۱/۱۴) و در گروه قوس‌های آتشفشاری قاره‌ای قرار می‌گیرد. نمودار Th/Ta در مقابل Yb و Th/Hf در مقابل Ta/Hf [۶۶] (شکل ۱۲)، نیز همین جایگاه را تایید می‌نماید. مآگماهای کمان به طور عمده در اثر ذوب‌بخشی در گوه گوشته‌ای وابسته به فرورانش، به دلیل اضافه شدن اجزای دگرنهادی آزاد شده از لیتوسفر اقیانوسی فرورونده به وجود می‌آید. صفحه‌ی فرورونده و رسوب‌های همراه آن با فرورفتمن در گوشته، جریانی از شاره‌های آبدار تولید می‌کند که به صورت یک کاتالیزور عمل کرده و باعث ذوب‌بخشی گوه گوشته و حمل LILE و LREE می‌شود [۶۷]. بنابراین، با توجه به سرشتی‌های شیمی پیروکسن و نیز ژئوشیمی سنگ‌های آتشفشاری منطقه‌ی شوشک نظریه‌ی شدگی LILE و بیهنجاری LREE در سنگ‌های مشتق شده از پوسته‌ی اقیانوسی فرورونده سیستان با شاره‌های احتمالاً از ذوب‌بخشی گوهی گوشته‌ای که در اثر تماس با شاره‌های مشتق شده از پوسته‌ی اقیانوسی فرورونده سیستان [۱۰۸]، از عناصر کمیاب غنی شده، ریشه گرفته است.

با توجه به نمودار نسبت Y/Nb در مقابل Th/Y که توسط [۳۹] ارائه شده است (شکل ۱۰ الف)، نمونه‌های مورد بررسی روند غنی‌شدنی در مناطق فرورانش را نشان می‌دهند. این ویژگی نشان‌دهنده خاستگاه دگرنهادی به وسیله‌ی شاره‌هاست. هر چه نسبت Y/Th در سنگ‌ها بالاتر باشد، بیانگر این است که گوشته به مقدار بیشتری به وسیله‌ی غنی‌شدنی پنهنه‌ی فرورانش تحت تأثیر قرار گرفته است [۵۹]. با توجه به ویژگی‌های ژئوشیمیابی بیان شده و نمودار Nb/Ba در مقابل Th/Nb [۶۰] (شکل ۱۰ ب) می‌توان چنین نتیجه گرفت که در خاستگاه نمونه‌های مورد بررسی بین اجزای فرورانشی، دگرنهادی وابسته به رسوب‌های فرورونده، بالاترین نقش را داشته و نمونه‌ها در راستای روند مربوطه قرار گرفته‌اند. غنی‌شدنی بیشتر داسیت و ریولیت در Th ممکن است وابسته به تأثیر اجزای فرورانده شده یا آغشتگی پوسته‌ای باشد.

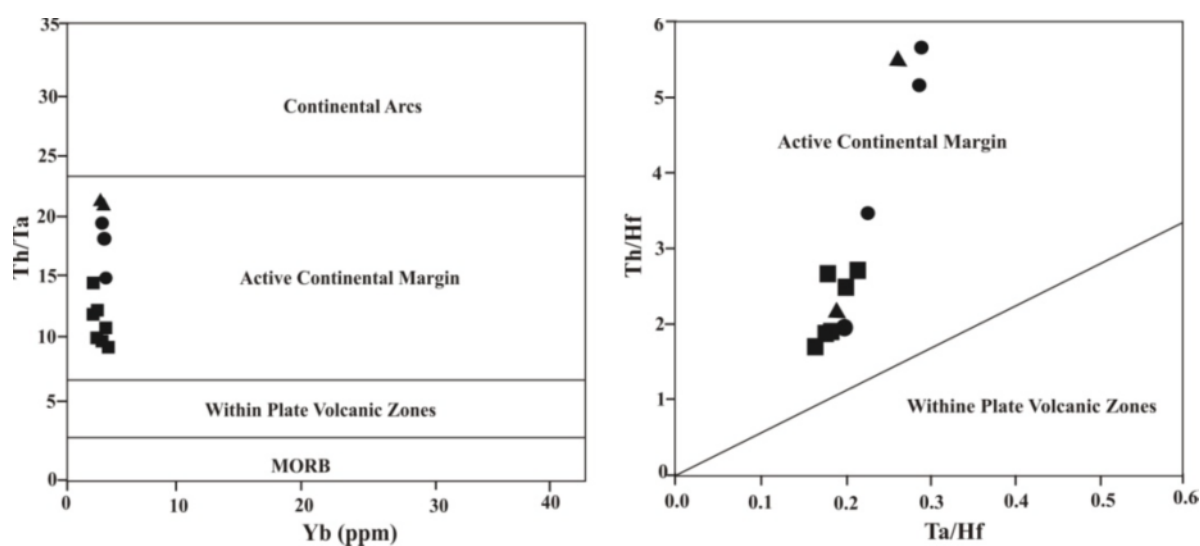
محتوای LREE در مذاب به ذوب‌بخشی گارنت یا اسپینل پریدوتیت بستگی داشته و نسبت La/Yb با درجات متغیر ذوب وابسته است. همچنین مذاب‌های رخساره گارنت نسبت به مذاب‌های رخساره اسپینل، نسبت‌های بالاتری از La/Yb ایجاد می‌نماید [۶۱]. نسبت La/Yb در گدازه‌های منطقه شوشک نسبتاً پایین و بین ۷/۱۷ تا ۱۱/۶۸ متغیر است که بیانگر تمايل آنها به خاستگاه اسپینل لرزولیتی می‌باشد. به اعتقاد [۶۲]، عناصر خاکی نادر یا نسبت‌های آنها (نظیر La/Yb, Dy/Yb, Sm/Yb) برای تعیین ترکیب گوشته فوکانی، کانی‌شناسی و عمق تشكیل مذاب استفاده می‌شود؛ زیرا این عناصر دارای ضرایب جدایش متفاوت برای اسپینل و گارنت هستند. نسبت Dy/Yb باعث تمايز بین ذوب در گستره‌ی پایداری اسپینل و گارنت از یک لرزولیت فلوگوپیت و آمفیبیولدار می‌شود. مذاب‌های حاصل در گستره‌ی پایداری گارنت عموماً دارای ذوب در Dy/Yb بالا (بیش از ۲/۵) هستند، در صورتیکه ذوب در Dy/Yb محدوده پایداری اسپینل، سبب ایجاد مذاب با نسبت Dy/Yb پایین (کمتر از ۱/۵) می‌شود. بنابراین، نمودار نسبت Dy/Yb در مقابل Dy [۶۳] برای ارزیابی ترکیب خاستگاه بسیار مفید است. موقعیت سنگ‌های آتشفشاری بررسی شده در این نمودار، بیانگر گوشته‌ی خاستگاه اسپینل لرزولیتی برای آن‌هاست (شکل ۱۱ الف). به منظور ارزیابی عمق خاستگاه مآگما، از نمودار میانگین غلظت عناصر کمیاب Sm, Ce, Yb و Ce در مقابل عمق تفکیک مذاب [۶۴] استفاده شد که بر اساس این نمودار، مآگما از عمق ۹۵ تا ۱۰۵ کیلومتری ریشه گرفته است (شکل ۱۱ ب).



شکل ۱۰ الف) نمودار Th/Y در مقابل Nb/Y [۳۹]؛ ب) نمودار Th/Nb [۶۰] برای سنگ‌های آتشفشاری منطقه شوشک (علائم مشابه شکل ۸).



شکل ۱۱ الف) نمودار Dy/Yb در مقابل Dy [۶۳]؛ ب) تعیین عمق خاستگاه ماغما با استفاده از نمودار میانگین غلظت عنصر کمیاب نسبت به عمق جدایی گدازه‌ی [۶۴] نمونه‌های منطقه‌ی مورد بررسی (علائم مشابه شکل ۸).



شکل ۱۲ نمونه‌های مورد بررسی در نمودارهای [۶۶]، در گستره‌ی حاشیه‌ی قاره‌ای فعال قرار می‌گیرند (علائم مشابه شکل ۸).

magmatic activity the northern Lut area, East of Iran", Ministry of mines and metals, GSI, geodynamic project (geotraverse) in Iran 51(1983) 285-336.

[4] Camp V. E., Griffis R. J., "Character, genesis and tectonic setting of igneous rocks in the Sistan suture zone, eastern Iran", *Lithos* 15(1982) 221-239.

[5] Tirrull R., Bell L.R., Griffis R. J., Camp V. E., "The Sistan suture zone of eastern Iran", *Geological society of America Bulletin* 94(1983) 134-150.

[6] Pang K. N., Chung S. L., Zarrinkoub M. H., Mohammadi S. S., Yang H. M., Chu C. H., Lee H. Y., Lo C. H., "Age, geochemical characteristics and petrogenesis of late Cenozoic intraplate alkali basalts in the Lut-Sistan region, eastern Iran", *Chemical Geology* 306-307(2012) 40-53.

[7] Zarrinkoub M.H., Chung S.L., Chiu H.Y., Mohammadi S.S., Khatib M.M., Lin I.J., "Zircon U-Pb age and geochemical constraints from the northern Sistan suture zone on the Neotethyan magmatic and tectonic evolution in eastern Iran", Abstract to GSA Conference on "Tectonic Crossroads Evolving Orogens in the Eurasia-Africa-Arabi", 520(2010)4-8.

[8] Pang K.N., Chung S.L., Zarrinkoub M.H., Khatib M.M., Mohammadi S.S., Chiu H. Y., Chu C.H., Lee H.Y., Lo C.H., "Eocene– Oligocene post- collisional magmatism in the Lut– Sistan region, eastern Iran: Magma genesis and tectonic implications", *Lithos* 180- 181(2013) 234- 251.

[۹] نظری ز، "بررسی زمین‌شناسی و پترولوزی سنگ‌های آتشفشاری شمال غرب سریش (خاور ایران)"، پایان نامه کارشناسی ارشد، گروه زمین‌شناسی، دانشگاه بیرجند (۱۳۹۰)، صفحه ۱۲۳

[۱۰] گودرزی م، "پترولوزی سنگ‌های آتشفشاری شرق سریش (شرق ایران)" با نگرشی بر پتانسیل اقتصادی آنها، پایان نامه کارشناسی ارشد گروه زمین‌شناسی، دانشگاه بیرجند (۱۳۹۱)، صفحه ۱۴۱

[۱۱] محمدی س.س، "مطالعه زمین‌شناسی و پترولوزی سنگ‌های آتشفشاری ترشیری منطقه معدن پرلیت سریش (شرق ایران)"، با نگرشی بر کاربرد صنعتی آن، مجله زمین‌شناسی اقتصادی، جلد ۴، شماره ۱ (۱۳۹۱)، ص ۷۶ تا ۵۹

[۱۲] مکی پور م، "مطالعه زمین‌شناسی، دگرسانی و پترولوزی سنگ‌های آذرین منطقه گلاب (سریش، شرق ایران)" پایان نامه

برداشت

واحدهای سنگی اوسن-الیکومن منطقه‌ی شوشک شامل سنگ‌های آذرآواری و گدازهای است که واحدهای گدازهای به صورت گنبدهایی با ساخت توده‌ای و گاهی ستونی روی نهشته‌های آذرآواری قرار گرفته‌اند. بافت غالب مشاهده شده در نمونه‌های مورد بررسی، پورفیری با خمیره‌ی میکرولیتی تا شیشه‌ای پرلیتی و گاهی گلومرپورفیری می‌باشد. منطقه‌بندی، بافت غربالی و خورددگی خلیجی در فنوکریستهای پلاژیوکلاز و گردش‌گی در بلورهای کوارتز از نشانه‌های شرایط عدم تعادل حین انجماد مانگاست. داده‌های شیمی کانی‌ها و ژئوشیمی سنگ کل نشان می‌دهد که مانگماهی سازنده‌ی سنگ‌های مورد بررسی به سری آهکی قلایی تعلق داشته و محیط زمین- ساختی تشکیل آن‌ها قوس قاره‌ای وابسته به فروزانش است. مقدار Mg# در آندزیت‌های مورد بررسی از ۴۶/۴۲ تا ۵۸/۹۴ متغیر است که بیانگر نقش اجزای گوشه‌ای در تشکیل آن- هاست. الگوی یکسان عناصر کمیاب نمونه‌ها بیانگر ارتباط ژنتیکی گدازه‌های حدوات و اسیدی با یکدیگر از طریق تبلور تفریقی است. بیهنجاری منفی Ti-Nb و بیهنجاری مثبت Pb-U و Th در نمودارهای عنکبوتی نشان‌دهنده آلایش مانگماهی سازنده سنگ‌ها با پوسته‌ی بالایی است. داده‌های ژئوشیمیایی بیانگر این است که مانگماهی سازنده سنگ‌های بررسی شده، در اثر ذوب بخشی گوشه‌ی اسپینل لرزولیتی در منطقه انتقال اسپینل-گارنت در اعماق حدود ۹۵ تا ۱۰۵ کیلومتری تشکیل شده است. دما‌سنجی ارتوپپروکسن در فشار ۱ تا ۱۰ کیلوبار، گستره‌ی دمایی ۱۰۵۰ تا ۱۱۰۰ درجه‌ی سانتی‌گراد را نشان می‌دهد.

مراجع

- [1] Karimpour M. H., Stern C. R., Farmer L., Saadat S., Malekezadeh A., "Review of age, Rb/Sr geochemistry and petrogenesis of Jurassic to Quaternary igneous rocks in Lut Block, Eastern Iran", *Geopersia* 1(2011) 19-36.
- [2] Richards J. P., Spell T., Rameh E., Razique A., Fletcher T., "High Sr/Y Magmas Reflect Arc Maturity, High Magmatic Water Content, and Porphyry Cu ± Mo ± Au Potential: Examples from the Tethyan Arcs of Central and Eastern Iran and Western Pakistan", *Economic Geology* 107 (2012) 295-332.
- [3] Jung D., Keller J., Khorasani R., Marcks Chr., Baumann A., Horn P., "Petrology of the Tertiary

- [24] Beccaluva L., Macciotta G., Piccardo G. B., Zeda O., "Clinopyroxene composition of ophiolite basalts as petrogenetic indicator", *Chemical Geology* 77(1989) 165-182.
- [25] Soesoo A., "A multivariate statistical analysis of clinopyroxene composition: empirical coordinates for the crystallisation PTestimations", *Geological Society of Sweden (Geologiska Föreningen)* 119 (1997) 55-60.
- [26] Morimoto N., Fabries J., Ferguson A.K., Ginzburg I. V., Ross M., Seifert F. A., Zussman J., Aoki K., GottardiG., "Nomenclature of pyroxenes", *Mineralogical Magazine* 52 (1988) 535-550.
- [27] Morimoto N., Fabries J., Ferguson A.K., Ginzburg I. V., Ross M., Seifert F. A., Zussman J., Aoki K., Gottardi G., "Nomenclature of pyroxenes", *Mineralogical Journal* 14(5)(1989) 198-221.
- [28] Le Bas M. J., "The role of aluminum in igneous clinopyroxenes with relation to their parentage", *American Journal of Science* 260(4) (1962) 267-288.
- [29] Schneider M. E., Eggler D. H., "Fluids in equilibrium with peridotite minerals: implications for mantle metasomatism", *Geochimica et Cosmochimica Acta* 50(1986) 711-724.
- [30] Brey G. T., Köhler T., "Geothermobarometry in four phase lherzolites, part II: new thermobarometers and practical assessment of existing thermobarometers", *Journal of Petrology* 31(6) (1990) 1353-1378.
- [31] Middlemost E.A.K., "Naming materials in the magma/ igneous rock system", *Earth Sciences Review* 37 (1994) 215–224.
- [32] Rapp R.P., Watson E.B., "Dehydration melting of metabasalt at 8-32-kbar - implications for continental growth and crustmantle recycling", *Journal of Petrology* 36 (1995) 891–931.
- [33] Geng H., Sun M., Yuan C., Xiao W.J., Xian W.S., Zhao G.C., Zhang L.F., Wong K., Wu F.Y., "Geochemical, Sr-Nd and zircon U-Pb-Hf isotopic studies of Late Carboniferous magmatism in the West Junggar, Xinjiang: implications for ridge subduction?", *Chemical Geology* 266 (2009) 364–389.
- [34] Peccerillo A., Taylor S.R., "Geochemistry of Eocene calc-alkaline volcanic rocks from the Kastamonu area, Northern Turkey", *Contributions to Mineralogy and Petrology* 58 (1976) 63-81.
- [35] Harangi S., Downes H., Thirlwall M., Gmelin K., "Geochemistry, Petrogenesis and Geodynamic Relationships of Miocene
- کارشناسی ارشد گروه زمین‌شناسی، دانشگاه بیرجند (۱۳۹۱)، ۱۱۷ صفحه.
- [۱۳] ملکیان دستجردی م، "پترولوزی سنگ‌های آتشفسانی منطقه کنگان (شمال شرق سریشه) با نگرشی بر اهمیت اقتصادی آن‌ها"، پایان نامه کارشناسی ارشد گروه زمین‌شناسی، دانشگاه بیرجند (۱۳۹۴)، ۱۳۱ صفحه.
- [۱۴] چهکنندی نژاد م، "پترولوزی سنگ‌های آتشفسانی منطقه آسفیچ (جنوب غرب سریشه) با نگرشی بر پتانسیل اقتصادی آن‌ها"، پایان نامه کارشناسی ارشد گروه زمین‌شناسی، دانشگاه بیرجند (۱۳۹۴)، ۹۸ صفحه.
- [۱۵] Nazari H., Salamati R., "Geological map of Sarbisheh (1/100000)", Sheet 7955 Geological survey of Iran (1999).
- [۱۶] Zemller G. F., Sparks R. S. G., Hawkesworth C. J., Wiedenbeck M., "Magma emplacement and remobilization timescale beneath Montserrat: Insight from Sr and Ba zonation in plagioclase phenocrysts", *Journal of Petrology* 44(2003) 1413-1431.
- [۱۷] Karsli O., Aydin F., Saldiklar M.B., "Magma interaction recorded in plagioclase zoning in granitoid, Eastern Pontides, Turkey", *Turkish Journal of Earth Sciences* 13(2004) 287-305.
- [۱۸] Renjith M.I., "Micro-textures in plagioclase from the 1994e 1995v eruption, Barren Island Volcano: Evidence of dynamic magma plumbing system in the Andaman subduction zone", *Geoscience Frontiers* 5(2014) 113-126.
- [۱۹] MacDonald R., Hawkesworth C.J., Heath J., "The lesser Antilles volcanic Chine: a study in arc magmatism", *Earth Science Review* 49(2000) 1-76.
- [۲۰] PomaS., Quenardelle S., Litvak V., Maisonnave E.B., Koukharsky M., "The Sierra de Macon, plutonic expression of the Ordovician magmatic arc, Salta Province, Argentina", *Journal of South American Earth Science* 16(2004) 587-697.
- [۲۱] Whitney D., Evans B., "Abbreviations for names of rock-forming minerals", *American Mineralogist* 95(2010) 185-187.
- [۲۲] Deer W.A., Howie R.A., Zussman J., "An introduction to the rock forming minerals", Longman Scientific and Technical (1991) 528 P.
- [۲۳] Nisbet E.G., Pearce J.A., "Clinopyroxene composition in mafic lavas from different tectonic settings", *Contributions to Mineralogy and Petrology* 63(1977) 149-160.

- district, Qazvin, Iran: Mineralogical and geochemical evidence for a complex magmatic evolution", Journal of Asian Earth Sciences 45 (2012) 79–94.*
- [46] Ayati F., "Geochemistry investigations of volcanic rocks in Salafchegan-Khorhe sheet with emphasize on Sr-Nd isotopic data", *Journal of Tethys3* (2015) 163-181.
- [47] Wilson M., "Igneous Petrogenesis", Springer Verlag(2007) 466p.
- [48] Hofmann A.M., "Mantle geochemistry. The messages from oceanic volcanism", *Nature* 385 (1997) 219-229.
- [49] Roy A., Sarkar A., Jeyakumar S., Aggrawal S.K., Ebihara M., "Sm-Nd age and mantle source characteristics of the Dhanjori volcanic rocks, Eastern India", *Geochemical Journal* 36 (2002) 503-518.
- [50] Atherton M.P., Ghani A.A., "Slab Breakoff: A Model for Caledonian, Late Granite Syncollisional Magmatism in the Orthotectonic (Metamorphic) Zone of Scotland and Donegal, Ireland", *Lithos* 62 (2002) 65-85.
- [51] Kamber B.S., Ewart A., Collerson K.D., Bruce M.C., McDonald G.D., "Fluid-Mobile Trace Element Constraints on the Role of Slab Melting and Implications for Archean Crustal Growth Models", *Contributions to Mineralogyand Petrology* 144(2002)38-56.
- [52] Yang W., Li S., "Geochronology and geochemistry of the Mesozoic volcanic rocks in Western Liaoning: Implications for lithospheric thinning of the North China Craton", *Lithos*102(2008) 88–117.
- [53] Keshavarzi R., Esmaili D., Kakhkhai M.R., Mokhtari M.A.A., Jabari R., "Petrology, Geochemistry and Tectonomagmatic Setting of Neshveh Intrusion (NW Saveh)", *Open Journal of Geology*4 (2014)177-189.
- [54] Rollinson H., "Using geochemical data: evaluation Presentation, interpretation", Singapore Ongman (1989)352 p.
- [55] Fan W. M., Gue F., Wang Y.J., Lin G., "Late Mesozoic calc-alkalin volcanism of post-orogenic
- [57] Foley S.F., Wheller G.E., "Parallels in the origin of the geochemical signatures of island arc volcanics and continental potassic igneous rocks: the role of residual titanites", *Chemical Geology*85(1990)1-18.
- [58] Martin H., "Adakitic magmas: modern analogues of Archaean granitoids", *Lithos* 46 (1999) 411-429.
- CalccalcalineVolcanic Rocks in the Western Carpathian Arc, Eastern Central Europe", Journal of petrology* 48 (2007) 2261- 2287.
- [36] Sun S.S., McDonough W.F., "Chemical and isotopic systematics of oceanic basalts: implications for mantle composition and processes", *Geological Society, London, Special Publications* 42(1989) 313-345.
- [37] Boynton W.V., "Geochemistry of the rare earth elements: meteorite studies", In: Henderson, P. (ed), *Rare Earth Element Geochemistry* 169 (1984) 63-114.
- [38] Jahangiri A., "Post-collisional Miocene adakitic volcanism in NW Iran: Geochemical and geodynamic implications", *Journal of Asian Earth Sciences* 30(2007) 433–447.
- [39] Pearce J. A., "Role of sub- continental lithosphere in magma genesis at active continental margins" .In: Hawkesworth, C.J. and Nurry, M.L. (Eds.): *Continental basalts and mantle xenoliths*, Shiva,Nantwich (1983) 230-249.
- [40] Winter J.D., "An introduction to Igneouse and metamorphic petrology", Prentice Hall, (2001) 697.
- [41] Marchev P., Raicheva R., Downes H., Vaselli O., Chiaradia M., Moritz R., "Compositional diversity of Eocene-Oligocene basaltic magmatism in the Eastern Rhodopes, SE Bulgaria: implications for genesis and tectonic setting", *Tectonophysics* 393(2004) 301–328.
- [42] Zulkarnain I., "Geochemical Signature of Mesozoic Volcanic and Granitic Rocks in Madina Regency Area, North Sumatra, Indonesia, and its Tectonic Implication", *IndonesianJournal on Geosciences* 4(2009)117-131.
- [43] Gill R., "Igneous rocks and processes", Wiley-Blackwell (2010) 428p.
- [44] Kuscu G., Geneli F., "Review of post-collisional volcanism in the Central Anatolian volcanic province (Turkey), with special reference to the Tepekovalcic complex, international", *Journal of Earth Sciences* 99(2010) 593-621.
- [45] Asiabanza A., Bardintzeff J.M., Kananian A., Rahimi G., "Post-Eocene volcanics of the Abazar extention in the northen Da Hinggan Mountains, northeastern China", *Journal of Volcanology and Geothermal Research* 121(2003) 115-135.
- [56] Arsalan M., Aslan Z., "Mineralogy, petrography and whole-rock geochemistry of the Tertiary granitic intrusions in the Eastern Pontides, Turkey", *Journal of Asian Earth Sciences*27 (2006) 177-193.

- [59] Kuscu G. G., Geneli F., "Review of post-collisional volcanism in the Central Anatolian Volcanic Province (Turkey), with special reference to the Tepekoval Volcanic Complex", International journal of earth sciences 99 (2010) 593-621.
- [60] Ersoy Y., Helvacı C., "FC-AFC-FCA and mixing modeler: a Microsoft Excel spreadsheet program for modeling geochemical differentiation of magma by crystal fractionation, crustal assimilation and mixing", Computers and Geosciences 36 (2010) 383-390.
- [61] Peters T.J., Menzies M., Thirlwall M., Kyle P., "Zuni-Bandera volcanism, Rio Grande, USA – melt formation in garnet- and spinel facies mantle straddling the asthenosphere-lithosphere boundary", Lithos 102(1-2)(2008) 295-315.
- [62] Shaw J.E., Baker J.A., Menzies M.A., Thirlwall M.F., Ibrahim K.M., "Petrogenesis of the largest intraplate volcanic field on the Arabian plate (Jordan): a mixing lithosphere-asthenosphere source activated by lithospheric extension", Journal of Petrology 44(2003)1657–1679.
- [63] Arslan M., Temizel I., Abdioglu E., Kolaylı H., Yuçel C., Boztug D., Cuñeyt Sen C., " ^{40}Ar - ^{39}Ar dating, whole-rock and Sr-Nd-Pb isotope geochemistry of post-collisional Eocene volcanic rocks in the southern part of the Eastern Pontides (NE Turkey): implications for magma evolution in extension-induced origin", Contributions to Mineralogy and Petrology 166 (2013) 113–142.
- [64] Ellam R.M., "Lithospheric thickness as a control on basalt geochemistry", Geology 20 (1992)153–156.
- [65] Pearce J. A., Norry M. J., "Petrogenetic implications of Ti, Zr, Y and Nb variation in volcanic rocks", Contributions to Mineralogy and Petrology 69 (1979) 33-47.
- [66] Schandl E. S., Gorton M. P., "Application of high field strength elements to discriminate tectonic setting in VMS environment", Economic Geology 97 (2002) 629-642.
- [67] Hoang N., Itoh J., Miyagi I., "Subduction components in Pleistocene to recent Kurile arc magmas in NE Hokkaido, Japan", Journal of Volcanology and Geothermal Research 200 (2011) 255-266.